



TUGAS AKHIR - TE 141599

PENGENALAN BAHASA ISYARAT TANGAN MENGUNAKAN DEPTH IMAGE

Try Yuliandre Pajar
NRP 07111340000141

Dosen Pembimbing
Dr. Ir. Djoko Purwanto, M.Eng.
Dr. Ir. Hendra Kusuma, M.Eng.Sc.

DEPATERMEN TEKNIK ELEKTRO
Fakultas Teknologi Elektro
Institut Teknologi Sepuluh Nopember
Surabaya 2018



TUGAS AKHIR - TE 141599

Pengenalan Bahasa Isyarat Tangan Menggunakan Depth Image

Try Yuliandre Pajar
NRP 07111340000141

Dosen Pembimbing
Dr. Ir. Djoko Purwanto, M.Eng.
Dr. Ir. Hendra Kusuma, M.Eng.Sc.

DEPARTEMEN TEKNIK ELEKTRO
Fakultas Teknologi Elektro
Institut Teknologi Sepuluh Nopember
Surabaya 2018



FINAL PROJECT - TE 141599

***HAND SIGN LANGUAGE RECOGNITION USING DEPTH
IMAGE***

Try Yuliandre Pajar
NRP 07111340000141

Supervisor
Dr. Ir. Djoko Purwanto, M.Eng.
Dr. Ir. Hendra Kusuma, M.Eng.Sc

DEPARTEMENT OF ELECTRICAL ENGINEERING
Faculty of Electrical Technology
Institut Teknologi Sepuluh Nopember
Surabaya 2018

PERNYATAAN KEASLIAN TUGAS AKHIR

Dengan ini saya menyatakan bahwa isi sebagian maupun keseluruhan Tugas Akhir saya dengan judul “PENGENALAN BAHASA ISYARAT TANGAN MENGGUNAKAN DEPTH IMAGE” adalah benar-benar hasil karya intelektual sendiri, diselesaikan tanpa menggunakan bahan-bahan yang tidak diijinkan dan bukan merupakan karya orang lain yang saya akui sebagai karya sendiri.

Semua referensi yang dikutip maupun dirujuk telah ditulis secara lengkap pada daftar pustaka.

Apabila ternyata pernyataan ini tidak benar, saya bersedia menerima sanksi sesuai dengan peraturan yang berlaku.

Surabaya, 16 Januari 2018

Try Yuliandre Pajar
NRP.07111340000141

**PENGENALAN BAHASA ISYARAT TANGAN MENGGUNAKAN
DEPTH IMAGE**

TUGAS AKHIR

**Diajukan untuk Memenuhi Sebagian Persyaratan
Untuk Memperoleh Gelar Sarjana Teknik**

Pada

**Bidang Studi Elektronika
Departemen Teknik Elektro
Fakultas Teknologi Elektro**

Institut Teknologi Sepuluh Nopember

Menyetujui:

Dosem Pembimbing I

Dosen Pembimbing II



Dr. Ir. Djoko Purwanto, M.Eng.

Nip : 196512111990021002

Dr. Ir. Hendra Kusuma, M.Eng.Sc.

Nip : 196409021989031003



PENGENALAN BAHASA ISYARAT TANGAN MENGUNAKAN DEPTH IMAGE

Nama : Try Yuliandre Pajar
Pembimbing I : Dr. Ir. Djoko Purwanto, M.Eng.
Pembimbing II : Dr. Ir. Hendra Kusuma, M.Eng.Sc.

ABSTRAK

Sistem pengenalan bahasa isyarat menggunakan pengolahan visual digital. Pada tugas akhir ini sistem mengambil citra gambar menggunakan depth sensor. Depth sensor digunakan untuk mendapatkan gambar tangan sehingga tahap pengambilan kontur berbeda dibandingkan dengan kamera RGB. Depth sensor yang diatur jarak pembacaanya dapat menghasilkan gambar kontur tangan. Menggunakan metode *convex hull*, *convexity defects*, dan pusat massa gambar dapat menghasilkan nilai-nilai yang dapat dilatih untuk melakukan pengenalan pada tahap uji cobanya.

Sistem ini dapat menangkap citra tangan dari jarak 50cm hingga 65cm. Sistem ini dilatih menggunakan *artificial neural network* dengan dua kondisi percobaan. Percobaan pertama menggunakan delapan output berdasarkan koordinat yang didapat. Percobaan kedua menggunakan tiga input berdasarkan panjang garis dan luas. Hasil yang dicapai sistem ini yaitu dapat mengenali gestur bahasa isyarat tangan berdasarkan hasil pelatihan. Hasil pelatihan ditentukan dari elemen penyusun neural network dan banyaknya iterasi yang dilakukan, pada ragam huruf yang sedikit akurasi hasil pelatihan dapat memenuhi target output sebaliknya jika ragam huruf bertambah banyak.

Kata kunci: *Hand Sign Language, Kinect, Machine Vision, depth sensor.*

.....*Halaman ini sengaja dikosongkan*.....

Hand Sign Language Recognition Using Depth Image

Name : Try Yuliandre Pajar
1st Advisor : Dr. Ir. Djoko Purwanto, M.Eng.
2nd Advisor : Dr. Ir. Hendra Kusuma, M.Eng.Sc.

ABSTRACT

The sign language recognition system uses digital visual processing. In this final project the system takes image image using depth sensor. Depth sensors are used to get hand drawings so that the contour capture stage is different than the RGB camera. Depth sensors that can be adjusted the distance of the reader can produce hand contour images. Using convex hull, convexity defects, and image center methods can generate trained values for introduction to the test phase.

This system can capture hand images from 50cm to 65cm. The system is trained using an artificial neural network with two experimental conditions. The first experiment uses eight outputs based on the acquired coordinates. The second experiment uses three inputs based on line length and area. The result of this system is to recognize gesture of hand sign language based on training result. The results of the training are determined by the neural network's constituent elements and the number of iterations performed, on the slightly different letters the accuracy of the training results can meet the opposite output targets if the variety of letters increases.

Keywords : Hand Sign Language, Kinect, Machine Vision, depth sensor.

.....*Halaman ini sengaja dikosongkan*.....

KATA PENGANTAR

Alhamdulillah, syukur yang tiada henti penulis panjatkan kehadirat Allah SWT serta tidak lupa sholawat salam semoga tetap tercurah kepada junjungan kita Nabi Muhammad SAW sehingga penelitian dalam tugas akhir ini bisa berjalan lancar dan selesai tepat pada waktunya.

Selama pelaksanaan penelitian Tugas Akhir ini, penulis mendapatkan bantuan dari berbagai pihak, dan penulis sampaikan rasa terima kasih. Terima kasih yang sebesar-besarnya juga penulis sampaikan kepada berbagai pihak yang mendukung dan membantu dalam tugas akhir ini, diantaranya :

1. Dr. Ir. Djoko Purwanto, M.Eng. selaku dosen pembimbing pertama, atas bimbingan, inspirasi, pengarahan, dan motivasi yang diberikan selama pengerjaan penelitian tugas akhir ini.
2. Dr. Ir. Hendra Kusuma, M.Eng.Sc. selaku dosen pembimbing kedua, atas bimbingan, inspirasi, pengarahan, dan motivasi yang diberikan selama pengerjaan penelitian tugas akhir ini.
3. Dr. Tri Arief Sardjono, ST., MT., Tasripan, Ir., MT., Ronny Mardiyanto, ST., MT., Dr., dan Muhammad Attamimi, B.Eng, M.Eng, PhD. selaku dosen penguji yang memberikan banyak masukan dan pengarahan sehingga penulis dapat menyelesaikan buku tugas akhir ini dengan baik.
4. Kedua orang tua dan saudara-saudara saya yang senantiasa memberikan doa, nasihat, motivasi, dukungan dan karena keberadaan merekalah penulis tetap semangat untuk menyelesaikan penelitian ini.
5. Rekan-rekan Laboratorium Elektronika 202 yang banyak membantu dalam penyelesaian tugas akhir ini.

Penulis sadar bahwa Tugas Akhir ini masih belum sempurna dan masih banyak hal yang perlu diperbaiki. Saran, kritik dan masukan baik dari semua pihak sangat membantu penulis terutama untuk berbagai kemungkinan pengembangan lebih lanjut.

Surabaya, 16 Januari 2018

Try Yuliandre Pajar

.....*Halaman ini sengaja dikosongkan*.....

DAFTAR ISI

LEMBAR PENGESAHAN	ix
ABSTRAK.....	i
ABSTRACT.....	iii
KATA PENGANTAR.....	v
DAFTAR ISI.....	vii
DAFTAR GAMBAR	ix
DAFTAR TABEL	xi
PENDAHULUAN	1
1.1. Latar Belakang	1
1.2. Perumusan Masalah	1
1.3. Tujuan Penelitian	2
1.4. Batasan Masalah	2
1.5. Metodologi Penelitian	2
1.6. Sistematika Penulisan	3
1.7. Relevansi.....	4
DASAR TEORI	5
2.1. Bahasa Isyarat	5
2.2. Kinect.....	6
2.2.1. <i>Depth Sensor Kinect</i>	7
2.3. OpenNI.....	10
2.4. OpenCV	10
2.5. Pengolahan Citra Digital	10
2.6. Pengolahan Morfologi Citra.....	10
2.6.1. Erode	11
2.6.2. Dilate.....	11
2.7. Convex Hull	12
2.8. Convexity Defects.....	13
2.9. Neural Network.....	14
2.9.1. Konsep Dasar <i>Neural Network</i>	14
2.9.2. Faktor Bobot	15
2.9.3. Fungsi Aktivasi	15
2.9.4. Model <i>Neural Network Backpropagation</i>	16
PERANCANGAN SISTEM	17
3.1. Perancangan Hardware	17
3.2. Perancangan Software.....	18
3.3. Thresholding jarak pada depth kamera	19

3.4.	Pembentukan kontur dengan morfologi	21
3.5.	Pembentukan garis kontur	22
3.3.1.	Pembentukan garis hull	23
3.3.2.	Pembentukan defects	25
3.6.	Menentukan pusat massa	27
3.7.	Perancangan ANN	29
PENGUJIAN DAN ANALISIS		31
4.1.	Kondisi ideal Pengujian	31
4.2.	Pengujian jarak minimum dan maksimum threshold pada gambar depth	31
4.3.	Pengujian morfologi	32
4.4.	Pengujian ANN dengan 8 input	34
4.4.1.	Pengujian I - ANN 8 input	36
4.4.2.	Pengujian II - ANN 8 input	39
4.4.3.	Pengujian III - ANN 8 input	41
4.5.	Pengujian ANN dengan 3 input	43
4.5.1.	Pengujian I - ANN 3 input	45
4.5.2.	Pengujian II - ANN 3 input	47
4.5.3.	Pengujian II - ANN 3 input	49
4.6.	Pembahasan Pengujian	51
PENUTUP		53
5.1.	Kesimpulan	53
5.2.	Saran	53
DAFTAR PUSTAKA		55
LAMPIRAN		57
BIODATA PENULIS		73

DAFTAR GAMBAR

Gambar 2.1 Ragam bentuk isyarat tangan ISL atau ASL[9]	5
Gambar 2.2 Kinect Xbox 360 (generasi pertama)[10]	6
Gambar 2.3 Kinect Xbox One (generasi kedua)[11]	7
Gambar 2.4 Diagram pengolahan data depth[12]	8
Gambar 2.5 Cara kerja depth sensor kinect[13]	9
Gambar 2.6 Gambar yang dihasilkan depth sensor[14]	9
Gambar 2.7 (a) gambar awal; (b) kernel bentuk rectangular ukuran 3x3; (c) gambar hasil erode[15]	11
Gambar 2.8 (a) gambar awal; (b) kernel bentuk rectangular ukuran 3x3; (c) gambar hasil dilate[15]	12
Gambar 2.9 Convex Hull[16].....	12
Gambar 2.10 Convexity defects pada tangan [17]	13
Gambar 2.11 Convex hull dan Convexity defects pada tangan [18]	13
Gambar 2.12. Neural Network Sederhana	14
Gambar 2.13 Fungsi Sigmoid Biner.....	16
Gambar 3.1 Ilustrasi cara kerja sistem (a) tangan pengguna; (b) kinect yang terhubung laptop dan suplai ; (c) laptop dan speaker	17
Gambar 3.2 Diagram blok sistem untuk mendapatkan data set	18
Gambar 3.3 Diagram blok sistm learning hingga ke output Audio	18
Gambar 3.4 Algoritma sistem	19
Gambar 3.5 Program pengambilan gambar depth yang memasuki area threshold	20
Gambar 3.6 Proses pengambilan gambar depth(a) gambar BGR; (b) gambar depth yang tampak keseluruhan (diakses dengan OpenNI); (c) gambar depth yang tampak berdasarkan jarak yang di-threshold (diakses dengan OpenCV)	20
Gambar 3.7 Hasil gambar depth yang ditampilkan ketika objek memasuki area threshold dengan jarak yang berbeda-beda	21
Gambar 3.8 Program untuk proses morfologi gambar	21
Gambar 3.9 Proses morfologi (a) gambar BGR; (b) gambar depth yang belum diolah morfologi; (c) gambar depth setelah diolah morfologi	22
Gambar 3.10 Program untuk mendapatkan kontur dari gambar	22
Gambar 3.11 Program untuk mendapatkan kontur dari gambar	23
Gambar 3.12 Draw line contour (a) gambar BGR; (b) gambar depth; (c)	

hasil penggambaran garis tepi kontur tangan	23
Gambar 3.13 Program untuk mendapatkan convex hull pada gambar...	24
Gambar 3.14 Program untuk menggambar garis tepi kontur	24
Gambar 3.15 Draw convex hull (a) gambar BGR; (b) gambar depth; (c) hasil penggambaran garis hull.....	25
Gambar 3.16 Program untuk mendapatkan defects dari gambar	26
Gambar 3.17 Program untuk mendapatkan kontur dari gambar	26
Gambar 3.18 Draw convexity defects (a) gambar BGR; (b) gambar depth; (c) penambahan titik start point, end point, dan farthest point	27
Gambar 3.19 Program untuk mendapatkan kontur dari gambar	28
Gambar 3.20 Draw convexity defects (a) gambar BGR; (b) gambar depth; (c) penambahan titik moments sebagai pusat massa pada kontur tangan.....	28
Gambar 4.1 Rancangan pada Pengujian I - ANN 8 input	36
Gambar 4.2 Rancangan pada Pengujian II - ANN 8 input	39
Gambar 4.3 Rancangan pada Pengujian III - ANN 8 input.....	41
Gambar 4.4 Rancangan pada Pengujian I - ANN 3 input	45
Gambar 4.5 Rancangan pada Pengujian II - ANN 3 input	47
Gambar 4.6 Rancangan pada Pengujian III - ANN 3 input.....	49

DAFTAR TABEL

Tabel 3.1 Perencanaan target output pada ANN	29
Tabel 4.1 Hasil pengujian threshold jarak pada gambar depth.....	32
Tabel 4.2 Hasil pengujian morfologi	33
Tabel 4.3 Sampel nilai-nilai mulai huruf A sampai J untuk ANN 8 input	34
Tabel 4.4 Gambar input mulai huruf A sampai J untuk ANN 8 input ...	35
Tabel 4.5 Hasil Pengujian I - ANN 8 input (1).....	37
Tabel 4.6 Hasil Pengujian I - ANN 8 input (2).....	37
Tabel 4.7 Hasil Pengujian I - ANN 8 input (3).....	38
Tabel 4.8 Hasil Pengujian I - ANN 8 input (4).....	38
Tabel 4.9 Hasil Pengujian II - ANN 8 input (1)	40
Tabel 4.10 Hasil Pengujian II - ANN 8 input (2)	40
Tabel 4.11 Hasil Pengujian III - ANN 8 input (1)	42
Tabel 4.12 Hasil Pengujian III - ANN 8 input (2)	42
Tabel 4.13 Sampel nilai-nilai mulai huruf A sampai J untuk ANN 3 input	43
Tabel 4.14 Gambar input mulai huruf A sampai J untuk ANN 3 input .	44
Tabel 4.15 Hasil Pengujian I - ANN 3 input (1).....	46
Tabel 4.16 Hasil Pengujian I - ANN 3 input (2).....	46
Tabel 4.17 Hasil Pengujian II - ANN 3 input (1)	48
Tabel 4.18 Hasil Pengujian II - ANN 3 input (2)	48
Tabel 4.19 Hasil Pengujian III - ANN 3 input (1)	50
Tabel 4.20 Hasil Pengujian III - ANN 3 input (2)	50

.....*Halaman ini sengaja dikosongkan*.....

BAB I

PENDAHULUAN

1.1. Latar Belakang

Keterbatasan dalam berkomunikasi masih menjadi sebuah masalah yang dirasakan oleh orang-orang yang menderita gangguan berbicara seperti tunawicara, tunarungu, dan sejenisnya. Contohnya pada orang yang tidak mampu berbicara seperti tunawicara atau tunarungu menggunakan isyarat tangan. Permasalahannya adalah penggunaan isyarat tangan tidak selalu dimengerti oleh orang normal sehingga dibutuhkan perangkat tambahan yang mampu mengubah isyarat tangan menjadi sebuah keluaran baru yang dapat dipahami oleh orang normal.

Perkembangan teknologi machine vision dapat diterapkan dalam bermacam-macam persoalan, salah satunya pada tugas akhir ini. Penggunaan bahasa isyarat tangan dimana citra dari gestur tangan tersebut akan digunakan sebagai acuan dalam pemrosesan machine vision dimana gestur tangan yang dihasilkan akan diolah menjadi suara. Perangkat utama yang digunakan adalah kinect, personal computer (PC), dan speaker. Pengenalan gestur tangan (*Hand Gesture Recognition*) menggunakan Kinect ini diproses oleh personal computer (PC) dan output yang dihasilkan berupa suara menggunakan speaker. Perangkat Kinect dari Microsoft menyediakan cara untuk mengekstrak fitur diskriminatif untuk pengenalan isyarat tangan. Pendekatan pengakuan dari Kinect terdiri dari dua tahap: tahap pelatihan dan tahap pengenalan [1]. Gestur tangan yang dikenali ini akan merepresentasikan tiap huruf alfabet dan nantinya output audio yang dihasilkan adalah pengejaan huruf tersebut.

1.2. Perumusan Masalah

Berdasarkan latar belakang di atas, dapat dirumuskan beberapa masalah, antara lain :

1. Bagaimana standar bahasa isyarat yang berlaku di Indonesia.
2. Bagaimana cara kamera depth mendapatkan kontur tangan
3. Bagaimana mendapatkan fitur yang dapat diolah untuk pengenalan bahasa isyarat.

1.3. Tujuan Penelitian

Penelitian pada tugas akhir ini bertujuan sebagai berikut:

1. Mengimplementasikan sensor depth kinect sebagai pendeteksi tangan.
2. Menggunakan metode algoritma *artificial neural network* untuk mengidentifikasi gestur tangan pada pengolahan citra digital
3. Memfasilitasi orang-orang tunawicara dan tunarungu sebagai pengirim dan orang normal sebagai penerima.

1.4. Batasan Masalah

Batasan masalah dari tugas akhir ini adalah sebagai berikut:

1. Bahasa isyarat hanya merepresentasikan huruf alfabet.
2. Bahasa isyarat dibentuk dari tangan kanan.
3. Penggunaan *depth sensor* pada kinect.
4. *Kinect* yang digunakan adalah kinect generasi pertama.
5. Pengolahan data menggunakan bahasa c++ dengan *library* openCV.
6. Jarak yang digunakan untuk mendapatkan gambar 65cm.
7. Posisi yang terbaca pada kamera tepat di tengah

1.5. Metodologi Penelitian

Dalam penyelesaian tugas akhir ini digunakan metodologi sebagai berikut:

1. Studi literatur

Pada tahap ini dilakukan pengumpulan dasar teori yang menunjang dalam penulisan tugas akhir. Berikut studi literatur yang dilakukan:

- a. Studi tentang gestur tangan sebagai bahasa isyarat.
- b. Studi tentang sensor *depth kinect*.
- c. Studi pengolahan citra digital
- d. Studi software kinect SDK, OpenCV, dan OpenNI.
- e. Studi pengolahan *visual* atau *image processing*.

Teori-teori penunjang juga dapat diambil dari dasar teori buku-buku, jurnal, artikel, dan *proceeding* di internet.

2. Perancangan Sistem *Hardware*

Tahapan ini meliputi perancangan perangkat keseluruhan meliputi

kinect, PC, dan *speaker*.

3. Perancangan Sitem *Software*

Tahapan ini meliputi pembuatan sistem pengenalan tangan sampai output dari sistem yang berupa audio. Dimulai dari pengambilan gambar tangan dengan cara meng-*threshold* jarak dari depth sensor kinect, mendapatkan kontur tangan, ekstraksi fitur, klarifikasi data gestur dari tangan, dan dilanjutkan ke-*learning data*. Setelah proses *learning* selesai maka pengujian dilakukan kembali hingga mendapatkan hasil yang diinginkan.

4. Pengujian Keseluruhan sistem

Tahap pengujian dilakukan serangkaian tahap dimulai dari pengambilan fitur tangan menggunakan convex hull, convexity defects, dan mass center dari tangan tersebut, nilai-nilai dari data akan dibandingkan berdasarkan posisi atau bentuk yg mempengaruhi nilai dari data. mengambil berbagai gestur tangan mengikuti standar ISL dengan *kinect* beserta analisisnya.

5. Analisa

Tahap ini akan dilakukan serangkaian analisa berdasarkan urutan prosedur pada tahap pengujian

6. Penulisan laporan Tugas Akhir

Tahap penulisan laporan Tugas Akhir dilakukan pada saat tahap pengujian sistem dimulai serta setelahnya.

1.6. Sistematika Penulisan

Laporan tugas akhir ini terdiri dari lima bab dengan sistematika penulisan sebagai berikut:

- **BAB I: PENDAHULUAN**
Bab ini meliputi latar belakang, perumusan masalah, tujuan penelitian, batasan masalah, metodologi, sistematika penulisan, dan relevansi.
- **BAB II: DASAR TEORI**
Bab ini menjelaskan tentang teori-teori penunjang yang dibutuhkan untuk tugas akhir ini.
- **BAB III: PERANCANGAN SISTEM**
Bab ini menjelaskan tentang perencanaan sistem baik perangkat keras (*hardware*) maupun perangkat lunak (*software*).
- **BAB IV: PENGUJIAN**

Bab ini menjelaskan tentang hasil yang didapat dari tiap blok sistem dan subsistem serta hasil evaluasi sistem tersebut beserta analisisnya.

- **BAB V: PENUTUP**

Bab ini menjelaskan tentang kesimpulan meliputi kekurangan-kekurangan pada kerja alat dari hasil analisa serta saran untuk pengembangan ke depan.

1.7. Relevansi

Hasil dari tugas akhir ini diharapkan dapat memberikan manfaat sebagai berikut:

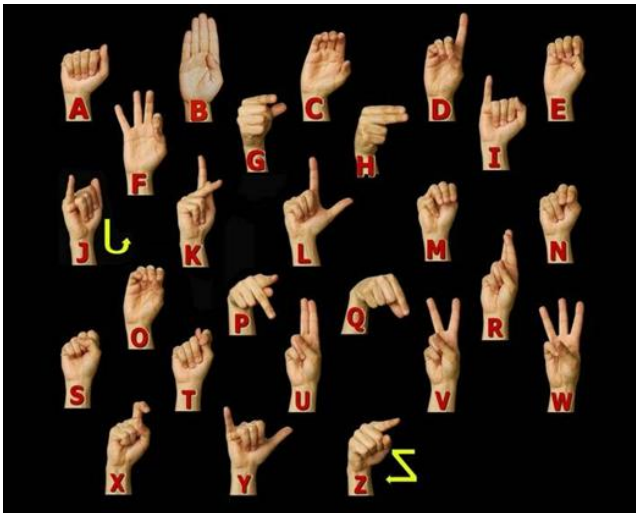
1. Menjadikan kinect sebagai media pembelajaran pengolahan citra dalam penggunaan *sensor depth*.
2. Dapat mfasilitasi penderita tunawicara dan tunarungu.
3. Memudahkan masyarakat untuk memahami bahasa isyarat.

BAB II DASAR TEORI

2.1. Bahasa Isyarat

Fungsi bahasa pada dasarnya terbagi menjadi tiga elemen yaitu pembicara, pendengar, dan sebuah sistem [2]. Bahasa isyarat merupakan suatu bentuk komunikasi yang menggunakan bahasa tubuh, tangan, dan gerak bibir namun tidak lisan untuk mengekspresikan pikiran penggunaannya [3]. Kaum tunarungu dan tunawicara adalah kelompok utama yang menggunakan bahasa isyarat. Bahasa ini merupakan kombinasi dari bentuk tangan orientasi dan gerak jari, tangan, dan lengan.

Bahasa isyarat memiliki sistem berdasarkan region seperti amerika memiliki *American Sign Language* (ASL). Indonesia memiliki sistem bahasa isyarat *Indonesian Sign Language* (ISL) atau sistem Isyarat Bahasa Indonesia (SIBI), sistem ini memiliki kesamaan dengan ASL.



Gambar 2.1 Ragam bentuk isyarat tangan ISL atau ASL[9]

2.2. Kinect

Kinect adalah perangkat elektronik dengan teknologi software yang dikembangkan oleh Microsoft. Kinect awalnya digunakan sebagai kontroler tambahan pada konsol game Xbox 360. Perangkat Kinect memiliki kamera RGB, *Depth Sensor*, *motorized tilt*, dan *multi-array microphone* [3]. *Depth Sensor pada kinect* merupakan kombinasi dari laser inframerah dan sensor CMOS monokromatik. Kinect generasi pertama dirilis pada november 2010 kemudian pada february 2012 generasi kedua dari perangkat ini dirilis. Pada tugas akhir ini *kinect* yang digunakan adalah kinect generasi pertama. Kinect dapat dikembangkan dengan beberapa macam software, salah satunya adalah Microsoft SDK kinect yang diproduksi dari Microsoft sendiri. Selain SDK, kinect juga memiliki berbagai macam library yang dapat digunakan untuk pengembangannya. Pada tugas akhir ini library yang digunakan adalah OpenNI.



Gambar 2.2 *Kinect Xbox 360* (generasi pertama)[10]



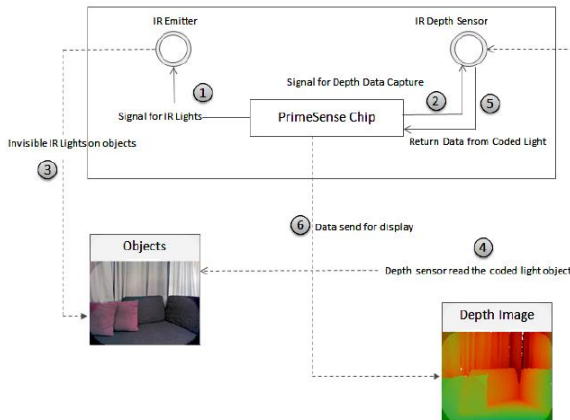
Gambar 2.3 *Kinect Xbox One* (generasi kedua)[11]

2.2.1. Depth Sensor Kinect

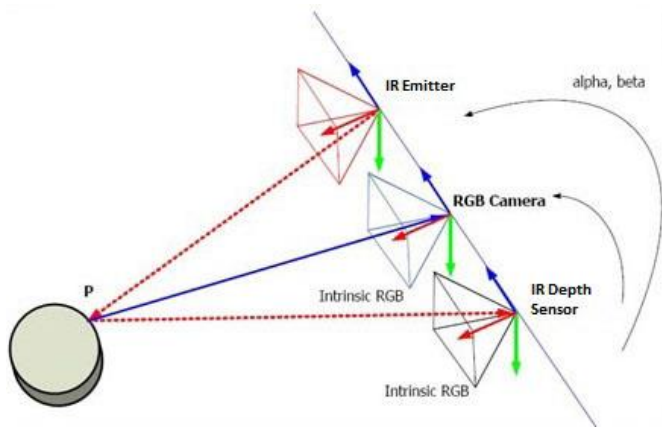
Depth sensor kinect atau sensor kedalaman kinect terdiri dari dua bagian yaitu pemancar inframerah (IR emitter) dan sensor kedalaman inframerah (IR depth sensor) yang merupakan sensor monokrom CMOS (Complimentari Metal Oxide Semiconductor). Pemancar inframerah berfungsi sebagai proyektor yang memancarkan cahaya inframerah dalam pola “pseudo-random dot”[4]. Dot atau titik ini tidak dapat dilihat oleh mata manusia dan terdapat pada permukaan objek yang berbeda-beda berdasarkan arah pemancarnya tetapi, titik ini merupakan informasi penting yang nantinya diolah oleh sensor kedalaman inframerah. Sensor kedalaman inframerah berfungsi sebagai pembaca dari dot yang dihasilkan pemancar, sensor akan mengukur jarak tiap dot sehingga terdapat perbedaan nilai tiap dot akan menghasilkan gambar kedalaman atau depthmap. Depthmap didukung oleh resolusi 640 x 480 piksel, 320 x 240 piksel, dan 80 x 60 piksel[4]. Teknologi dari sensor depth ini berasal dari PrimeSense. Cara pengolahan data depth bekerja sesuai diagram berikut.

Berdasarkan diagram, chip PrimeSense akan mengirimkan sinyal ke pemancar untuk menyalakan lampu dari inframerah jika ada kamera

memulai *capturing* Selain itu chip juga mengirimkan sinyal lain ke sensor inframerah untuk pengambilan data kedalaman sesuai jangkauan yang terlihat sensor. Kemudian pemancar memancarkan inframerah ke segala objek yang berada didepan kemudian sensor kedalaman membaca data berdasarkan jarak yang terukur antara titik dengan sensor, data ini kemudian diteruskan ke chip PrimeSense. Setelah chip PrimeSense menerima data dari sensor yang kemudian dianalisa sehingga dapat menampilkan gambar kedalaman.



Gambar 2.4 Diagram pengolahan data depth[12]



Gambar 2.5 Cara kerja depth sensor kinect[13]



Gambar 2.6 Gambar yang dihasilkan depth sensor[14]

2.3. OpenNI

OpenNI adalah perangkat lunak antarmuka untuk algoritma pengolahan data sensor kinect. Fungsi dari OpenNI adalah untuk mendefinisikan tipe data yang akan diolah pada kinect seperti warna, *depthmap*, dan *skeleton*. OpenNI juga memiliki *library* yang dapat digunakan untuk mengakses perangkat kinect.

2.4. OpenCV

OpenCV adalah suatu pustaka yang mengimplementasikan algoritma dan sintaks pada pengolahan citra. Dimana pengolahan citra terfokus ada mengekstrak suatu informasi dari gambar. OpenCV menyediakan algoritma yang dapat menemukan lokasi objek dan juga pendeteksian warna.

2.5. Pengolahan Citra Digital

Pengolahan citra digital adalah suatu proses dengan masukan dan keluaran data yang berupa citra. Proses ini bertujuan untuk memanipulasi dan menganalisa suatu informasi citra dengan perangkat komputer. Data yang diolah

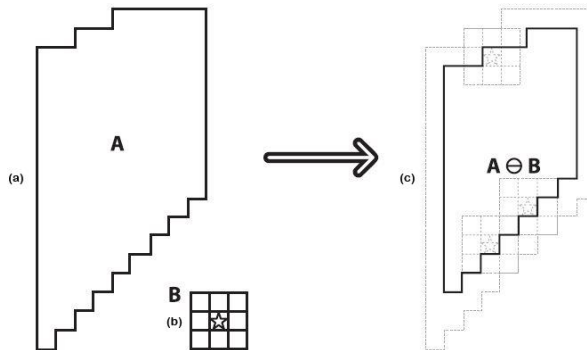
Pengolahan citra digital dapat memperbaiki suatu kualitas gambar dan juga dapat digunakan untuk pengenalan suatu objek. Pada tugas akhir ini pengolahan citra digital bertujuan untuk mengekstraks fitur dari gambar yang nantinya akan diolah oleh algoritma ANN.

2.6. Pengolahan Morfologi Citra

Morfologi pada citra adalah suatu pengolahan bentuk pada pengolahan citra digital. Morfologi merupakan transformasi sederhana berdasarkan bentuk dari gambar, transformasi ini biasanya dilakukan pada gambar biner. Proses transformasi ini secara umum terdiri dari input, output, dan kernel. Input adalah gambar yang akan ditransformasi, output adalah hasilnya, dan kernel untuk menentukan sifat operasi berdasarkan bentuk.

2.6.1. Erode

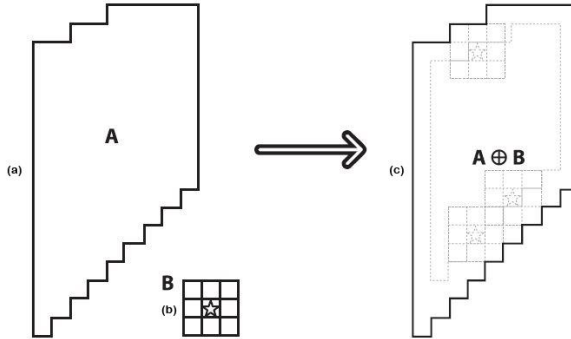
Erode atau erosi adalah salah satu dari transformasi morfologi dimana proses morfologi ini mengikis batas atau tepi dari suatu gambar biner. *Erode* merupakan salah satu dari operator dasar pada morfologi[5], operator ini biasanya bekerja pada gambar biner. Pada gambar biner operator ini akan mengikis tepi gambar akan dibuang bergantung dari ukuran dan bentuk dari kernel. Operator *erode* bekerja dengan menggunakan dua data yaitu gambar masukan dan *structuring element* atau kernel



Gambar 2.7 (a) gambar awal; (b) kernel bentuk *rectangular* ukuran 3x3; (c) gambar hasil *erode*[15]

2.6.2. Dilate

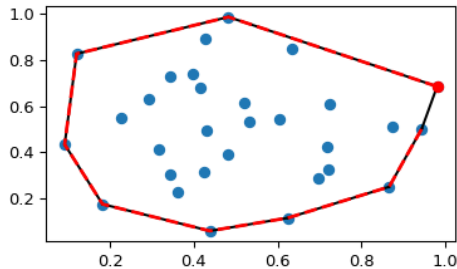
Dilate atau pelebaran adalah satu dari transformasi morfologi dimana proses morfologi ini menebalkan batas atau tepi dari suatu gambar biner. *Dilate* merupakan salah satu dari operator dasar pada morfologi selain erode, operator ini menebalkan suatu tepi dari gambar biner berdasarkan ukuran dan bentuk dari kernel. Operator *dilate* bekerja dengan menggunakan dua data yaitu gambar masukan dan *structuring element* atau kernel.



Gambar 2.8 (a) gambar awal; (b) kernel bentuk *rectangular* ukuran 3x3; (c) gambar hasil *dilate*[15]

2.7. Convex Hull

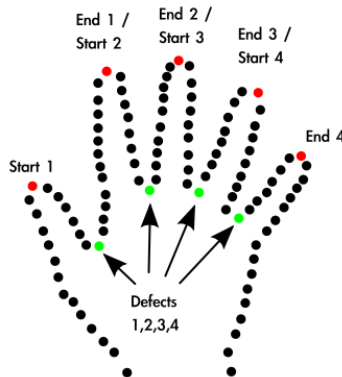
Convex hull adalah suatu himpunan yang terdiri dari beberapa titik dimana sebagian dari titik tersebut akan terhubung membentuk sebuah garis yang melingkupi semua. *Convex Hull* mampu meng-cover semua himpunan titik dengan jumlah garis yang paling minimal.



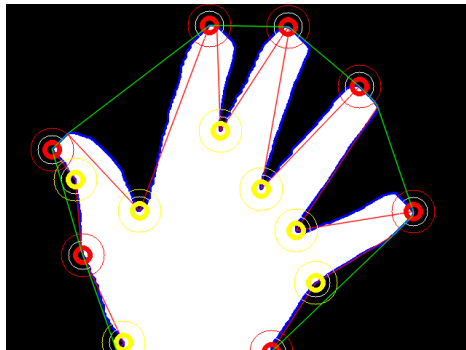
Gambar 2.9 *Convex Hull*[16]

2.8. Convexity Defects

Convexity defects adalah pengolahan lebih lanjut dari *convex hull* dimana *convexity defects* terdiri dari 4 elemen vektor yang merepresentasikan suatu nilai yaitu *start index*, *end index*, *farthest point index*, *fix point depth*.



Gambar 2.10 *Convexity defects* pada tangan [17]



Gambar 2.11 *Convex hull* dan *Convexity defects* pada tangan [18]

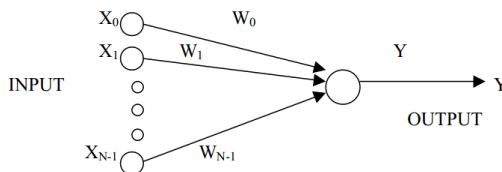
Start index adalah suatu titik terluar yang terhubung dengan *end index*, kedua titik ini terhubung mengitari kontur objek sesuai *convex*

hull. Farthest point adalah titik yang memiliki nilai terjauh dari kontur terhadap garis *hull*. *farthest point* terletak diantara *start index* dan *end index*.

2.9. Neural Network

Artificial Neural Network (ANN) adalah sebuah paradigma pengolah informasi yang terinspirasi dari cara kerja sistem saraf secara biologi[6]. *Neural network* merupakan salah satu komponen penting dalam *artificial intelligence* (AI). Hal ini telah bertahun-tahun dipelajari dengan harapan mencapai seperti kinerja manusia di berbagai bidang [7].

ANN memiliki berbagai macam definisi, seperti menurut Simon Haykin ANN adalah prosesor dalam jumlah besar yang terpasang secara paralel dan memiliki unit pemroses yang sederhana, unit pemroses ini menyimpan hasil pembelajaran yang dapat digunakan kembali[8].



Gambar 2.12. *Neural Network Sederhana*

2.9.1. Konsep Dasar *Neural Network*

ANN terdiri dari elemen penghitung yang bersifat non-linier yang dihubungkan menggunakan pembobot dan tersusun secara paralel. Pada proses pelatihan pembobot ini nantinya akan. Pada ANN, pelatihan dilakukan agar dapat menyelesaikan masalah. Pelatihan ANN awalnya menggunakan input dari data awal. Hasil dari pelatihan ANN akan memiliki tanggapan berdasarkan data pada pelatihan sehingga jika diujikan oleh data yang memiliki sedikit perbedaan dari data pelatihan akan memberikan hasil yang sesuai.

2.9.2. Faktor Bobot

Pada ANN bobot adalah suatu nilai yang mendefinisikan tingkat kepentingan hubungan dari suatu node ke node yang lain. Semakin besar nilai suatu bobot menggambarkan pentingnya hubungan antara node tersebut. Berdasarkan permasalahan atau model ANN yang digunakan, bobot adalah suatu hubungan berupa bilangan real atau integer. Bobot-bobot ini dapat ditentukan berdasarkan pola input yang dirancang seperti keberadaanya untuk interval tertentu sehingga bobot dapat sesuai dengan pola input.

2.9.3. Fungsi Aktivasi

Setiap neuron mempunyai keadaan internal yang disebut level aktivasi atau level aktivitas yang merupakan fungsi input yang diterima[]. Aktivitas ini biasa dikirimkan dari neuron ke neuron lainnya sebagai sinyal. Suatu sinyal yang dikirim oleh neuron hanya berlangsung sesaat.

Terdapat beberapa fungsi aktivasi yang digunakan ANN terutama pada metode *backpropagation*. Fungsi-fungsi tersebut contohnya adalah fungsi sigmoid biner dan sigmoid bipolar dengan karakteristik fungsi aktivasi pada umumnya yaitu kontinyu, konstan, dan dapat diturunkan.

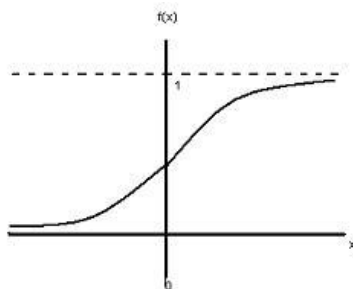
Pada fungsi log sigmoid, fungsi ini akan diterapkan pada ANN menggunakan metode *backpropagation*. Fungsi ini memiliki *range* 0 hingga 1 sehingga jika nilai input pada fungsi log sigmoid tidak berada pada *range* tersebut maka input harus dinormalisasikan. Berikut fungsi log sigmoid secara matematis

$$f_1(x) = \frac{1}{(1 + e^{-x})} \quad 2.1$$

dengan turunan :

$$f_1'(x) = f_1(x)(1 - f_1(x)) \quad 2.2$$

berikut ini fungsi *sigmoid biner*:



Gambar 2.13 Fungsi *Sigmoid Biner*

2.9.4. Model *Neural Network Backpropagation*

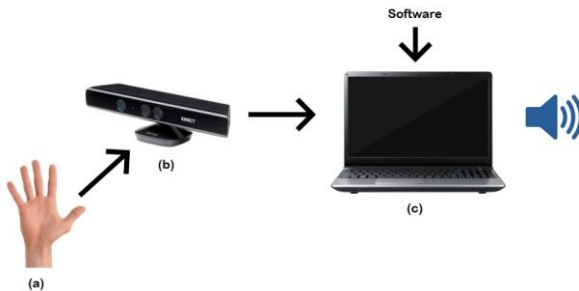
Selama proses pelatihan ANN terdapat dua proses pada setiap iterasi hingga ke peng-update-an nilai bobot yang baru yaitu proses forward propagation dan backpropagation. Pada proses forward propagation akan didapatkan nilai-nilai bobot yang baik sedangkan pada proses backpropagation dapat mengurangi error yang dihitung berdasarkan nilai rata-rata kuadrat dari error yang akan diperhitungkan untuk fungsi aktivasi.

BAB III PERANCANGAN SISTEM

Bab perancangan sistem ini akan dijelaskan sistem secara keseluruhan terutama pada bagian perangkat lunak karena pada tugas akhir ini sistem berperan banyak pada bagian perangkat lunak yang akan mengolah informasi visual. Sistem pengenalan bahasa isyarat ini terdiri dari empat komponen utama yaitu pengguna alat, kamera kinect, pengolahan citra digital, dan speaker sebagai output.

3.1. Perancangan *Hardware*

Berdasarkan ilustrasi pada gambar dibawah prinsip kerja dari sistem pengenalan bahasa isyarat ini dimulai dari beberapa tahap. Dimulai dari pengambilan gambar gestur bahasa isyarat pengguna. Gestur tangan yang ditangkap akan diolah berdasarkan jarak yang sudah diatur atau di-*threshold* pada program sehingga akan didapatkan kontur tangan pengguna. Kemudian kontur tangan yang didapat akan diolah dengan *convex hull*, *convexity defects*, dan *moment* untuk didapatkan fitur yang nantinya dapat diolah oleh algoritma *artificial neural network* sehingga fungsi sistem dapat mengenali gestur dari bahasa isyarat tangan.



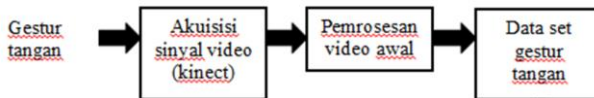
Gambar 3.1 Ilustrasi cara kerja sistem (a) tangan pengguna; (b) *kinect* yang terhubung laptop dan suplai ; (c) laptop dan speaker

3.2. Perancangan *Software*

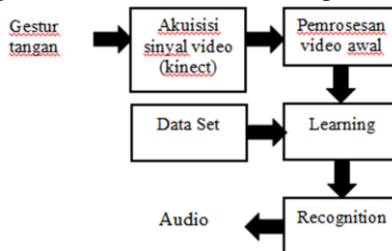
Pada perancangan *software* atau perangkat lunak sistem akan dirancang untuk mengambil data dan pembelajaran data. Pada proses pengambilan data dilakukan serangkaian proses sebagai berikut:

1. Depth sensor menangkap citra tangan, pada tahap ini sensor depth sudah di atur jarak minimum dan maksimum agar citra tangan lebih mudah didapatkan.
2. Citra tangan yang didapatkan akan diproses menggunakan transformasi morfologi, hasil dari morfologi menghasilkan citra tangan dengan kontur yang lebih halus. Hasil dari proses morfologi akan didapatkan pusat massa dan convex hullnya. Pada convex hull nilai convexity defect didapatkan, nilai-nilai ini terdiri dari *start point*, *end point*, *farthest point*.
3. Hasil dari proses sebelumnya menghasilkan nilai-nilai yang akan dijadikan data set dari gestur tangan. Data set ini digunakan untuk proses pembelajaran pada *artificial neural network*.

Pada proses pembelajaran atau *learning* , sistem akan melakukan tahap yang sama pada proses akuisisi data dan pemrosesan video awal. Hasil dari data set yang sudah melalui tahap *learning* akan digunakan untuk mengenali gestur tangan yang diujikan.



Gambar 3.2 Diagram blok sistem untuk mendapatkan data set



Gambar 3.3 Diagram blok sistm learning hingga ke output Audio


```

1 mengakses kinect depth sensor
2 capturing depth data
3 atur jarak threshold minimum dan maksimum depth sensor
4 lakukan operator morfologi erode
5 lakukan operator morfologi dilate
6 dapatkan kontur gambar yang didapat
7     gambarkan garis tepi kontur
8     dapatkan pusat massa kontur
9     dapatkan convex hull
10    gambarkan garis hull
11    dapatkan convexity defect
12        gambarkan garis start point
13        gambarkan garis end point
14        gambarkan titik start point
15        gambarkan titik farthest point
16        gambarkan titik pusat massa
17    masukkan nilai-nilai hasil pelatihan:
18    weight
19    bias
20    input layer (fitur dari defect dan pusat massa)
21    lakukan normalisasi input
22    lakukan pemrosesan hidden layer
23    lakukan pemrosesan output layer
24    case output:
25        jika output 00000 = A
26        jika output 00001 = B
27        .
28        .
29        jika output 11001 = Z

```

Gambar 3.4 Algoritma sistem

3.3. Thresholding jarak pada depth kamera

Pada pemrograman digunakan *library* OpenNI untuk mengakses kamera *depth kinect*. Kemudian dilakukan percobaan untuk mendapatkan jarak yang ideal untuk pengambilan data dan pengujian sistem. Berdasarkan percobaan, jarak minimum yang dipilih adalah 50cm dan jarak maksimum adalah 65cm. Gambar depth yang dihasilkan oleh OpenNI dan dan OpenCV tampak berbeda karena OpenCV hanya mengakses dari segi dua dimensi sedangkan OpenCV sudah terintegrasi oleh perhitungan sensor IR pada kinect sehingga tampak seperti tiga dimensi.

```

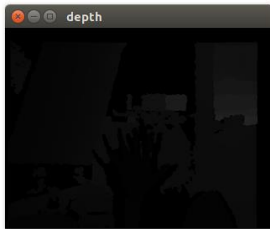
apture.grab();
capture.retrieve(depthmap, CAP_OPENNI_DEPTH_MAP);
//thresholding depthmap
inRange(depthmap, 500, 650, thresholded_depthmap);

```

Gambar 3.5 Program pengambilan gambar *depth* yang memasuki area *threshold*



(a)

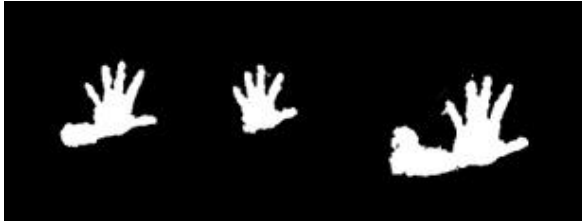


(b)



(c)

Gambar 3.6 Proses pengambilan gambar *depth*(a) gambar BGR; (b) gambar *depth* yang tampak keseluruhan (diakses dengan OpenNI); (c) gambar *depth* yang tampak berdasarkan jarak yang di-*threshold* (diakses dengan OpenCV)



Gambar 3.7 Hasil gambar *depth* yang ditampilkan ketika objek memasuki area *threshold* dengan jarak yang berbeda-beda

Pengujian radius dilakukan untuk mengetahui hasil dari kontur tangan yang didapatkan ketika diberikan *threshold* jarak pada depth sensor kinect.

Mengikuti urutan gambar tangan (kiri ke kanan). Pada percobaan pertama tangan memasuki area threshold hingga batas siku, pada gambar kedua tangan hingga pergelangan tangan, dan yang ketiga ketika kepala dan bahu juga masuk ke daerah threshold sensor.

3.4. Pembentukan kontur dengan morfologi

Hasil gambar tangan yang sudah memasuki area threshold masih akan ditransformasi menggunakan morfologi untuk mendapatkan bentuk yang lebih baik. Pada tugas akhir ini dilakukan tiga kali morfologi yaitu *erode*, *closing* (*erode* kemudian *dilate*), dan *dilate*. Bentuk kernel yang digunakan adalah rectangular dengan ukuran 3x3 untuk *erode* dan 8x8 untuk *dilate*.

```
//morphological transformations (erode + closing)
erode(thresholded_depthmap, thresholded_depthmap,
getStructuringElement(MORPH_RECT, Size(3, 3)));
erode(thresholded_depthmap, thresholded_depthmap,
getStructuringElement(MORPH_RECT, Size(3, 3)));
dilate(thresholded_depthmap, thresholded_depthmap,
getStructuringElement(MORPH_RECT, Size(8, 8)));
```

Gambar 3.8 Program untuk proses morfologi gambar



(a)



(b)



(c)

Gambar 3.9 Proses morfologi (a) gambar BGR; (b) gambar *depth* yang belum diolah morfologi; (c) gambar *depth* setelah diolah morfologi

3.5. Pembentukan garis kontur

Setelah gambar melalui proses morfologi dilakukan proses untuk mendapatkan garis kontur menggunakan fungsi dari OpenCV yaitu `findContours()`. Hasil dari `findContours()` kemudian diproses lagi untuk menghasilkan garis tepi dengan fungsi `drawContours()`.

```
vector<vector<Point>> > contours;
vector<Vec4i> hierarchy;

//create contour
findContours( thresholded_depthmap, contours, hierarchy,
RETR_TREE, CHAIN_APPROX_SIMPLE, Point(0, 0) );
```

Gambar 3.10 Program untuk mendapatkan kontur dari gambar

```

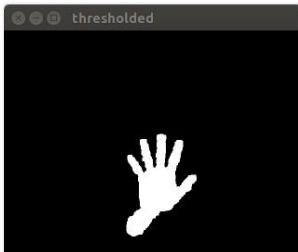
for(uint8_t i = 0; i < contours.size(); i++)
{
    drawContours(drawing, contours, i, Scalar(0, 255, 255),
    1, 8, hierarchy, 0, Point());
}

```

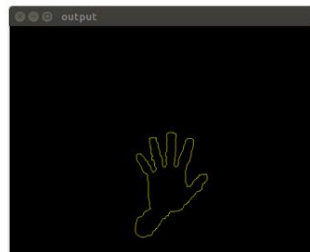
Gambar 3.11 Program untuk mendapatkan kontur dari gambar



(a)



(b)



(c)

Gambar 3.12 Draw line contour (a) gambar BGR; (b) gambar *depth*; (c) hasil penggambaran garis tepi kontur tangan

3.3.1. Pembentukan garis hull

Kontur yang didapatkan fungsi `findContours()` dapat diolah untuk mendapatkan garis hull dengan fungsi `convexHull()` dimana fungsi ini menghubungkan titik-titik terjauh yang didapatkan dari output fungsi `findContours()`. Kemudian `convex` yang didapat akan digambarkan oleh fungsi `drawContours()` sehingga didapatkan garis

poligonal yang melingkupi gambar tangan pada tampilan.

```
vector<vector<Point> > hull(contours.size());  
vector<vector<Vec4i> > defects(contours.size());  
  
for(uint8_t i = 0; i < contours.size(); i++ )  
{  
    //create hull  
    convexHull(contours[i], hull[i], false);  
}
```

Gambar 3.13 Program untuk mendapatkan *convex hull* pada gambar

```
for(uint8_t i = 0; i < contours.size(); i++ )  
{  
    drawContours(drawing, hull, i, Scalar(255, 0, 255),  
        1, 8, hierarchy, 0, Point());  
}
```

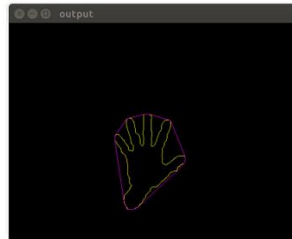
Gambar 3.14 Program untuk menggambar garis tepi kontur



(a)



(b)



(c)

Gambar 3.15 Draw convex hull (a) gambar BGR; (b) gambar *depth*; (c) hasil penggambaran garis hull

3.3.2. Pembentukan defects

Pembentukan defects didapatkan oleh fungsi `convexityDefects()` dalam iterasi fungsi `convexHull()` dimana fungsi ini menghasilkan 4 elemen vektor. Tiga elemen vektor dari fungsi `convexityDefects()` dapat digambar dan diolah nilainya yaitu *start index*, *end index*, *farthest point index*.

```

vector<vector<Point> > hull(contours.size());
vector<vector<int> > hull2(contours.size());
vector<vector<Vec4i> > defects(contours.size());

for(uint8_t i = 0; i < contours.size(); i++)
{
    //3.1.create hull
    convexHull(contours[i], hull[i], false);
    convexHull(contours[i], hull2[i], false);

    if(hull2[i].size() > 3 )
    {
        //3.2.create defects
        convexityDefects(contours[i], hull2[i], defects[i]);
    }
}

```

Gambar 3.16 Program untuk mendapatkan *defects* dari gambar

```

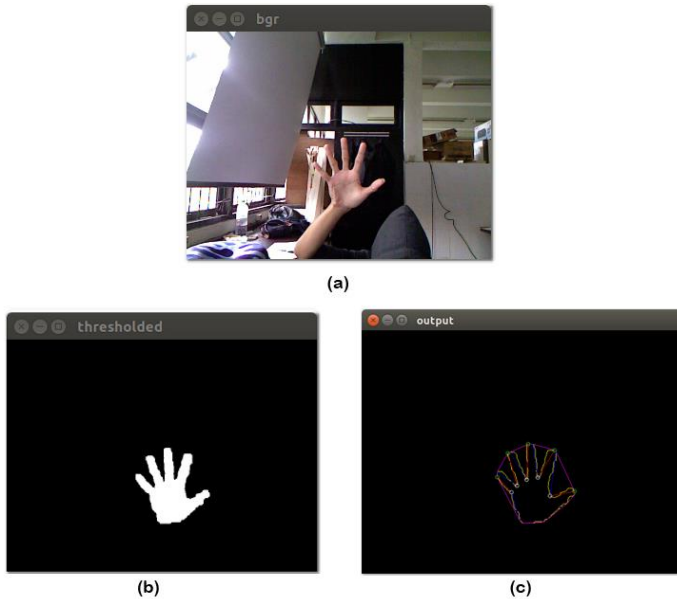
for(uint8_t i = 0; i < contours.size(); i++)
{
    for(uint8_t j=0; j<defects[i].size(); ++j)
    {
        const Vec4i& v = defects[i][j];
        float depth = v[3] / 256;

        if (depth > 10)
        {
            int startidx = v[0]; Point ptStart(contours[i][startidx]);
            int endidx = v[1]; Point ptEnd(contours[i][endidx]);
            int faridx = v[2]; Point ptFar(contours[i][faridx]);

            //draw defects
            line(drawing, ptStart, ptFar, Scalar(0, 0, 255), 1);
            line(drawing, ptEnd, ptFar, Scalar(255, 0, 0), 1);
            circle(drawing, ptFar, 4, Scalar(255, 255, 255), 1);
            circle(drawing, ptStart, 4, Scalar(0, 255, 0), 1);
        }
    }
}

```

Gambar 3.17 Program untuk mendapatkan kontur dari gambar



Gambar 3.18 *Draw convexity defects* (a) gambar BGR; (b) gambar *depth*; (c) penambahan titik *start point*, *end point*, dan *farthest point*

3.6. Menentukan pusat massa

Pusat massa pada suatu gambar dapat ditemukan menggunakan fungsi `moments()` dari OpenCV. Moments menggunakan metode rata-rata massa dari intensitas piksel gambar[]. Secara matematis perhitungan pusat

$$\mu_{ji} = \sum_{x,y} (\text{array}(x,y) \cdot (x - \bar{x})^j \cdot (y - \bar{y})^i) \quad 3.1$$

dimana titik pusat massa.

$$\bar{x} = \frac{m_{10}}{m_{00}}, \bar{y} = \frac{m_{01}}{m_{00}} \quad 3.2$$

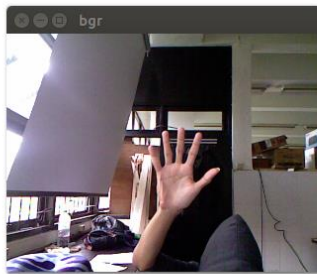
```

//Get the moments
vector<Moments> mu( contours.size() );
for( uint8_t i = 0; i < contours.size(); i++ )
    { mu[i] = moments( contours[i], false ); }

//Get the mass centers:
vector<Point2f> mc( contours.size() );
for( uint8_t i = 0; i < contours.size(); i++ )
    { mc[i] = Point2f( mu[i].m10/mu[i].m00 , mu[i].m01/mu[i].m00 ); }

```

Gambar 3.19 Program untuk mendapatkan kontur dari gambar



(a)



(b)



(c)

Gambar 3.20 *Draw convexity defects* (a) gambar BGR; (b) gambar *depth*; (c) penambahan titik *moments* sebagai pusat massa pada kontur tangan

3.7. Perancangan ANN

Fitur-fitur yang didapatkan dari *convexity defects* dan moments merupakan nilai yang dapat diolah oleh algoritma ANN. Berdasarkan fitur-fitur yang didapatkan akan dirancang kan pengujian ANN berdasarkan jumlah input, hidden layer, dan node. Pengujian berdasarkan jumlah input akan dibagi menjadi 2 yaitu menggunakan 8 input dan 3 input. Pada ANN 8 input, digunakan nilai ptStart.x, ptStart.y, ptEnd.x, ptEnd.y, ptFar.x, ptFar.y, mc.x, dan mc.y. Pada ANN 3 input, digunakan nilai jarak mc-start, mc-far, dan luas dari kontur tangan dengan bentuk *rectangular*. Input-input ini akan diolah pada ANN dengan output sebanyak 5. Berikut rancangan target dari ANN.

Tabel 3.1 Perencanaan target output pada ANN

Huruf	Target	Huruf	Target
A	00000	N	01101
B	00001	O	01110
C	00010	P	01111
D	00011	Q	10000
E	00100	R	10001
F	00101	S	10010
G	00110	T	10011
H	00111	U	10100
I	01000	V	10101
J	01001	W	10110
K	01010	X	10111
L	01011	Y	11000
M	01100	Z	11001

.....*Halaman ini sengaja dikosongkan*.....

BAB IV

PENGUJIAN DAN ANALISIS

Bab pengujian dan analisis dilakukan untuk mengetahui bagaimana sistem bekerja dan menganalisa satu-persatu langkah yang dikerjakan. Pada bab ini dilakukan pembahasan hasil pemrograman perangkat lunak, pengkondisian pengambilan data, tabel hasil uji data, dan label untuk input.

4.1. Kondisi ideal Pengujian

Pada tugas akhir ini ditentukan kondisi ideal untuk melakukan pengujian yaitu:




1. Hanya ada satu orang di depan kinect.
2. Pengguna hanya bisa mengulurkan tangan ke area pemrosesan kamera.
3. Gambar tangan yang tertangkap berada tepat ditengah.

4.2. Pengujian jarak minimum dan maksimum *threshold* pada gambar *depth*

Pengujian ini dilakukan untuk mencari nilai minimum dan maksimum yang tepat pada area *threshold* gambar *depth*.

Berdasarkan hasil pengujian jarak minimum dan maksimum yang tepat untuk pengukuran gambar adalah 50cm dan 65cm. karena pada jarak ini pengguna dapat memposisikan pada jarak yang cukup dekat. Nilai jarak ini berguna untuk pengujian data berikutnya

Tabel 4.1 Hasil pengujian threshold jarak pada gambar depth








Threshold Jarak		
Minimum (mm)	Maksimum (mm)	Hasil
500	1000	
500	800	
500	650	

4.3. Pengujian morfologi

Pengujian ini dilakukan untuk menentukan serangkaian urutan morfologi yang diterapkan dengan ukuran kernel yang berbeda-beda. Gambar melalui tiga transformasi morfologi dimulai dari erode, kemudian erode lagi, dan dilate dengan bentuk kernel yang digunakan adalah rectangular.

Berdasarkan hasil pengujian, hasil yang digunakan untuk pengujian selanjutnya menggunakan transformasi erode dengan kernel kotak berukuran 3x3 dan transformasi dilate dengan kernel kotak berukuran 8x8

Tabel 4.2 Hasil pengujian morfologi

Kernel			Hasil
erode-1	erode-2	dilate	
1x1	1x1	1x1	
3x3	3x3	1x1	
5x5	5x5	1x1	
1x1	1x1	2x2	
1x1	1x1	3x3	
1x1	1x1	4x4	
3x3	3x3	8x8	

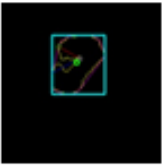

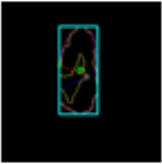
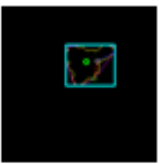
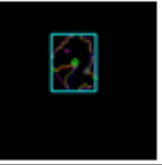

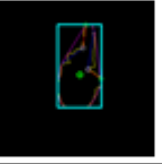

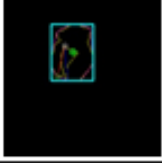
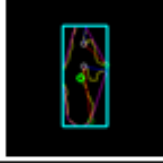
4.4. Pengujian ANN dengan 8 input

Pada pengujian ANN jumlah input yang digunakan adalah 8 yaitu ptStart.x, ptStart.y, ptEnd.x, ptEnd.y, ptFar.x, ptFar.y, mc.x, dan mc.y. Nilai ptStart, ptEnd, dan ptFar diperoleh dari convexity defects sedangkan mc diperoleh dari perhitungan pusat massa gambar menggunakan moments. Masing-masing huruf memiliki karakteristik nilai yang berbeda sehingga huruf-huruf ini dilatih menggunakan ANN dengan jumlah *training set* yang beragam perhurufnya.

Tabel 4.3 Sampel nilai-nilai mulai huruf A sampai J untuk ANN 8 input

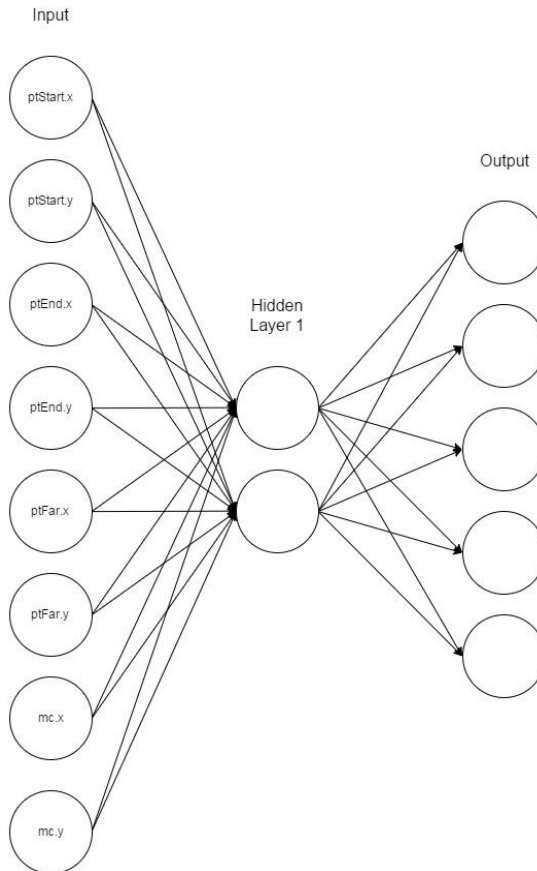
Huruf	PtStart.y	PtEnd.x	PtEnd.y	PtFar.x	PtFar.y	mc.x	mc.y
A	249	298	289	317	250	319,552	247,911
B	255	287	292	333	270	323,144	263,042
C	223	309	269	332	232	325,78	229,284
D	288	319	295	312	270	321,495	240,583
E	222	303	282	331	240	325,823	239,866
F	250	336	168	333	214	314,263	248,484
G	263	365	230	347	234	322,441	241,076
H	268	356	228	334	238	314,334	234,748
I	195	304	169	311	191	318,56	237,904
J	244	328	229	332	248	330,644	277,598

Tabel 4.4 Gambar input mulai huruf A sampai J untuk ANN 8 input

Huruf	Gambar	Huruf	Gambar
A		F	
B		G	
C		H	
D		I	
E		J	

4.4.1. Pengujian I - ANN 8 input

Pengujian ini menggunakan ANN dengan 8 input, 1 hidden layer, dan 5 output. *Hidden layer* menggunakan 2 node.



Gambar 4.1 Rancangan pada Pengujian I - ANN 8 input

Tabel 4.5 Hasil Pengujian I - ANN 8 input (1)

Jumlah Input	8
Jumlah Output	5
Jumlah Huruf	4
Training Set Perhuruf	10
Banyak Iterasi	5000
Jumlah Layer	2
Jumlah Node	8--2--5
Fungsi Aktivasi	Log Sigmoid - Linear
Target Sesuai	40
Target Tidak Sesuai	0
Persentase Target	100%

Tabel 4.6 Hasil Pengujian I - ANN 8 input (2)

Jumlah Input	8
Jumlah Output	5
Jumlah Huruf	4
Training Set Perhuruf	40
Banyak Iterasi	5000
Jumlah Layer	2
Jumlah Node	8--2--5
Fungsi Aktivasi	Log Sigmoid - Linear
Target Sesuai	158
Target Tidak Sesuai	2
Persentase Target	98.75%

Tabel 4.7 Hasil Pengujian I - ANN 8 input (3)

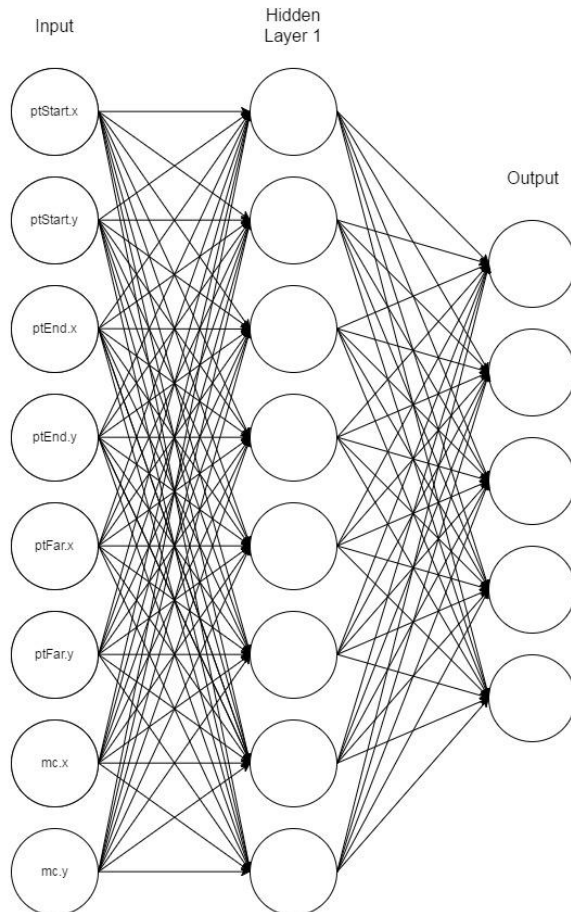
Jumlah Input	8
Jumlah Output	5
Jumlah Huruf	16
Training Set Perhuruf	40
Banyak Iterasi	5000
Jumlah Layer	2
Jumlah Node	8--2--5
Fungsi Aktivasi	Log Sigmoid - Linear
Target Sesuai	40
Target Tidak Sesuai	600
Persentase Target	6.25%

Tabel 4.8 Hasil Pengujian I - ANN 8 input (4)

Jumlah Input	8
Jumlah Output	5
Jumlah Huruf	16
Training Set Perhuruf	40
Banyak Iterasi	20000
Jumlah Layer	2
Jumlah Node	8--2--5
Fungsi Aktivasi	Log Sigmoid - Linear
Target Sesuai	40
Target Tidak Sesuai	600
Persentase Target	6.25%

4.4.2. Pengujian II - ANN 8 input

Pengujian ini menggunakan ANN dengan 8 input, 1 hidden layer, dan 5 output. *Hidden layer* menggunakan 8 node.



Gambar 4.2 Rancangan pada Pengujian II - ANN 8 input

Tabel 4.9 Hasil Pengujian II - ANN 8 input (1)

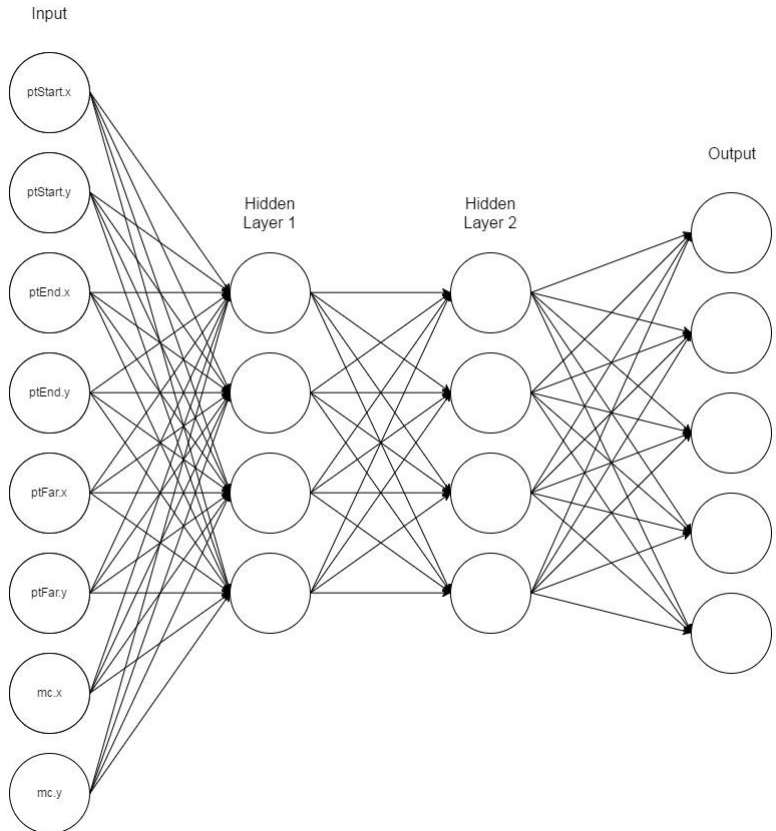
Jumlah Input	8
Jumlah Output	5
Jumlah Huruf	4
Training Set Perhuruf	10
Banyak Iterasi	5000
Jumlah Layer	8
Jumlah Node	8--8--5
Fungsi Aktivasi	Log Sigmoid - Linear
Target Sesuai	40
Target Tidak Sesuai	0
Persentase Target	100%

Tabel 4.10 Hasil Pengujian II - ANN 8 input (2)

Jumlah Input	8
Jumlah Output	5
Jumlah Huruf	4
Training Set Perhuruf	40
Banyak Iterasi	5000
Jumlah Layer	2
Jumlah Node	8--8--5
Fungsi Aktivasi	Log Sigmoid - Linear
Target Sesuai	160
Target Tidak Sesuai	0
Persentase Target	100%

4.4.3. Pengujian III - ANN 8 input

Pengujian ini menggunakan ANN dengan 8 input, 2 hidden layer, dan 5 output. *Hidden layer* pertama dan kedua menggunakan 4 node.



Gambar 4.3 Rancangan pada Pengujian III - ANN 8 input

Tabel 4.11 Hasil Pengujian III - ANN 8 input (1)

Jumlah Input	8
Jumlah Output	5
Jumlah Huruf	4
Training Set Perhuruf	10
Banyak Iterasi	5000
Jumlah Layer	3
Jumlah Node	8—4--4--5
Fungsi Aktivasi	Log Sig-Log Sig-Linear
Target Sesuai	40
Target Tidak Sesuai	0
Persentase Target	100%

Tabel 4.12 Hasil Pengujian III - ANN 8 input (2)

Jumlah Input	8
Jumlah Output	5
Jumlah Huruf	4
Training Set Perhuruf	40
Banyak Iterasi	5000
Jumlah Layer	3
Jumlah Node	8—4--4--5
Fungsi Aktivasi	Log Sig-Log Sig-Linear
Target Sesuai	160
Target Tidak Sesuai	0
Persentase Target	100%

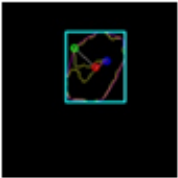
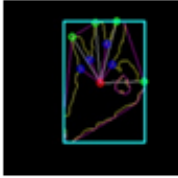
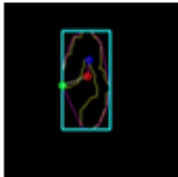
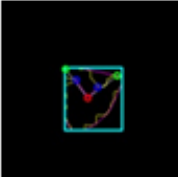
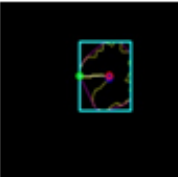

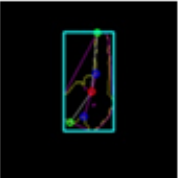
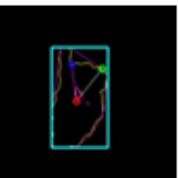
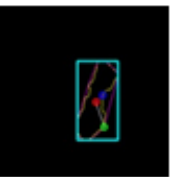
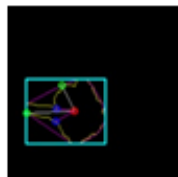
4.5. Pengujian ANN dengan 3 input

Pada pengujian ANN jumlah input yang digunakan adalah 3 yaitu jarak titik ptStart ke mass center, jarak titik ptFar ke mass center, dan luas dari kotak yang melingkupi kontur. Pada pengujian sebelumnya data yang diolah berupa koordinat-koordinat dari gambar tangan yang didapat sedangkan pada pengujian ini data yang diolah adalah garis sehingga memiliki kondisi yang berbeda saat pengambilan datanya.

Tabel 4.13 Sampel nilai-nilai mulai huruf A sampai J untuk ANN 3 input

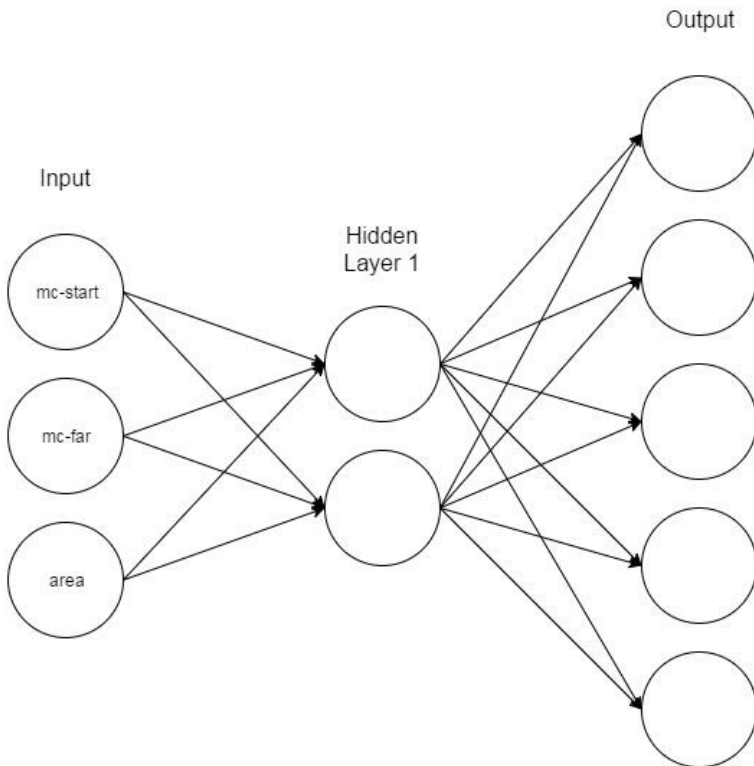
Huruf	ptStart-mc	ptFar-mc	Area
A	17,6538	40,3491	8036
B	10,5359	37,3648	9246
C	26,2802	42,6279	6984
D	21,1368	79,9585	9636
E	10,4029	36,9238	6210
F	29,1581	60,9376	19895
G	22,6164	50,5858	6873
H	19,9358	36,3534	8019
I	51,8751	59,0979	11440
J	22,2956	40,7743	10829

Tabel 4.14 Gambar input mulai huruf A sampai J untuk ANN 3 input

Huruf	Gambar	Huruf	Gambar
A		F	
B		G	
C		H	
D		I	
E		J	

4.5.1. Pengujian I - ANN 3 input

Pengujian ini menggunakan ANN dengan 8 input, 1 hidden layer, dan 5 output. *Hidden layer* menggunakan 8 node.



Gambar 4.4 Rancangan pada Pengujian I - ANN 3 input

Tabel 4.15 Hasil Pengujian I - ANN 3 input (1)

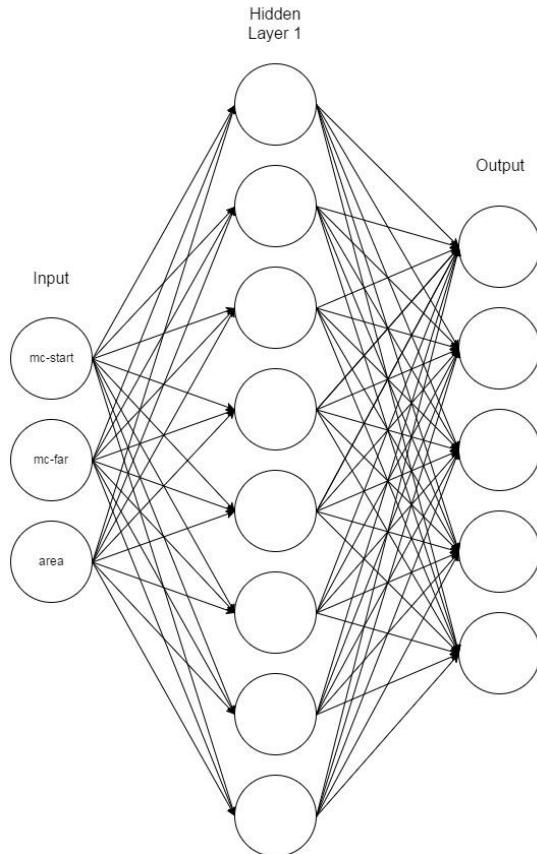
Jumlah Input	3
Jumlah Output	5
Jumlah Huruf	5
Training Set Perhuruf	10
Banyak Iterasi	5000
Jumlah Layer	2
Jumlah Node	3--2--5
Fungsi Aktivasi	Log Sigmoid - Linear
Target Sesuai	26
Target Tidak Sesuai	24
Persentase Target	52%

Tabel 4.16 Hasil Pengujian I - ANN 3 input (2)

Jumlah Input	3
Jumlah Output	5
Jumlah Huruf	10
Training Set Perhuruf	10
Banyak Iterasi	5000
Jumlah Layer	2
Jumlah Node	3--2--5
Fungsi Aktivasi	Log Sigmoid - Linear
Target Sesuai	10
Target Tidak Sesuai	90
Persentase Target	10%

4.5.2. Pengujian II - ANN 3 input

Pengujian ini menggunakan ANN dengan 8 input, 1 hidden layer, dan 5 output. *Hidden layer* menggunakan 8 node.



Gambar 4.5 Rancangan pada Pengujian II - ANN 3 input

Tabel 4.17 Hasil Pengujian II - ANN 3 input (1)

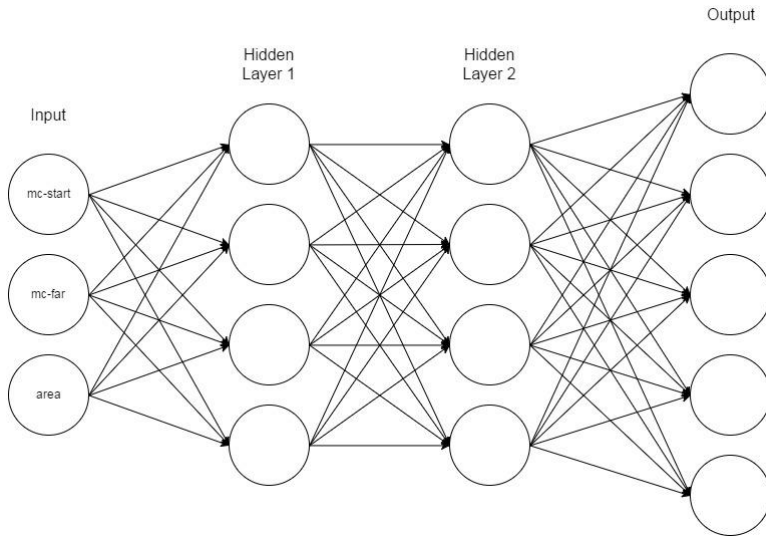
Jumlah Input	3
Jumlah Output	5
Jumlah Huruf	5
Training Set Perhuruf	10
Banyak Iterasi	5000
Jumlah Layer	2
Jumlah Node	3--8--5
Fungsi Aktivasi	Log Sigmoid - Linear
Target Sesuai	47
Target Tidak Sesuai	3
Persentase Target	94%

Tabel 4.18 Hasil Pengujian II - ANN 3 input (2)

Jumlah Input	3
Jumlah Output	5
Jumlah Huruf	10
Training Set Perhuruf	10
Banyak Iterasi	5000
Jumlah Layer	2
Jumlah Node	3--8--5
Fungsi Aktivasi	Log Sigmoid - Linear
Target Sesuai	10
Target Tidak Sesuai	90
Persentase Target	10%

4.5.3. Pengujian II - ANN 3 input

Pengujian ini menggunakan ANN dengan 8 input, 1 hidden layer, dan 5 output. *Hidden layer* menggunakan 8 node.



Gambar 4.6 Rancangan pada Pengujian III - ANN 3 input

Tabel 4.19 Hasil Pengujian III - ANN 3 input (1)

Jumlah Input	3
Jumlah Output	5
Jumlah Huruf	5
Training Set Perhuruf	10
Banyak Iterasi	5000
Jumlah Layer	3
Jumlah Node	3—4--4--5
Fungsi Aktivasi	Log Sig-Log Sig-Linear
Target Sesuai	50
Target Tidak Sesuai	0
Persentase Target	100%

Tabel 4.20 Hasil Pengujian III - ANN 3 input (2)

Jumlah Input	3
Jumlah Output	5
Jumlah Huruf	10
Training Set Perhuruf	10
Banyak Iterasi	5000
Jumlah Layer	3
Jumlah Node	3—4--4--5
Fungsi Aktivasi	Log Sig-Log Sig-Linear
Target Sesuai	20
Target Tidak Sesuai	80
Persentase Target	20%

4.6. Pembahasan Pengujian

Berdasarkan hasil pengujian, pelatihan ANN dengan input titik yang memiliki 8 nilai menghasilkan persentase lebih baik dibandingkan input garis dan luas yang memiliki 3 nilai. Pada pengambilan data juga nilai yang terambil tidak selalu konstan dan tepi kontur yang diolah masih mengalami noise, hal ini disebabkan oleh pengambilan gambar depth yang tidak menggunakan threshold jarak dengan gambar depth yang menggunakan threshold jarak menggunakan proses pengambilan gambar dari library yang berbeda.

.....*Halaman ini sengaja dikosongkan*.....

BAB V

PENUTUP

5.1. Kesimpulan

Pada pengujian ini diujikan suatu sistem yang dapat mengenali gestur tangan menggunakan kamera kinect. Penggunaan *depth sensor* dari kinect dapat dimanfaatkan untuk mendapatkan kontur tangan. Pengambilan kontur tangan membutuhkan metode lagi agar dapat dijadikan data tertentu sehingga data tersebut dapat dilatih dengan *artificial neural network*. Data yang dilatih ini yang menentukan tingkat keberhasilan dari sistem ini. Berdasarkan pengujian percobaan dengan jumlah input yang lebih banyak menghasilkan hasil yang lebih akurat dengan jumlah huruf yang hampir sama. Hasil yang dicapai sistem ini masih belum akurat karena proses pelatihan membutuhkan parameter-parameter yang lebih kompleks agar proses pengenalan dapat memberikan hasil yang lebih baik.

5.2. Saran

Pada perancangan, pembuatan dan pengujian alat tugas akhir ini terdapat beberapa kekurangan dan disarankan untuk pengembangan selanjutnya. Citra yang diperoleh dari *depth sensor* kinect kurang begitu bagus sehingga dibutuhkan filter gauss untuk memperhalus citra yang didapatkan dari *depth sensor* kinect.

.....*Halaman ini sengaja dikosongkan*.....

DAFTAR PUSTAKA

- [1] Liu, Fenglin, Hand Gesture Recognition Using Kinect via Deterministic Learning, Longyan University, 2017.
- [2] Andrian, Muhammad Yunus, Penerjemah Isyarat Indonesia Menggunakan Kamera Telepon Genggam Android, Institut Teknologi Sepuluh Nopember, 2016.
- [3] Gunawan, Alexander A. S., Pembelajaran Bahasa Isyarat Dengan Kinect dan Metode Tim Warping, Universitas Binus, 2013.
- [4] Jana A. “Kinect for Windows SDK Programming Guide”, pp.8-11, Dec. 2012
- [5] Bradsk, Gary and A. Kaehler, Learning OpenCV: Computer Vision with the OpenCVLibrary, O'Reilly Media, pp.115. 2008.
- [6] Awodele, Oludele, “Neural Networks and its Application in Engineering”, Proceedings of Informing Science and IT Education Conference, Bablock University, 2009.
- [7] Haykin S, “Neural Network: A Comprehensive Foundation”, pp.12, Canada, Feb. 1998.
- [8] Gurney K. “An Introduction to Neural Networks”, pp. 13, London, 1997
- [9] https://www.dclibrary.org/sites/default/files/styles/huge__800_x_800_/public/signlanguageabc_4.jpg?itok=0RiQ9jJKa
- [10] http://thumbnail.egloos.net/460x0/http://pds23.egloos.com/pds/201112/12/15/d0041915_4ee6157f04eb5.pnga
- [11] <https://image.slidesharecdn.com/kinectv2introductionandtutorial-141114042655-conversion-gate01/95/kinect-v2-introduction-and-tutorial-6-638.jpg?cb=1445117505a>
- [12] Jana A. “Kinect for Windows SDK Programming Guide”, pp.12, Dec. 2012
- [13] <http://vision.ia.ac.cn/Students/gzp/functioning.jpg>
- [14] <http://123kinect.com/wp-content/gallery/kinect-2/kinect-1-depth-map.jpaga>
- [15] Bradsk, Gary and A. Kaehler, Learning OpenCV: Computer Vision with the OpenCVLibrary, O'Reilly Media, pp.116-117. 2008.
- [16] https://scipy.github.io/devdocs/_images/scipy-spatial-ConvexHull-1.pnga

- [17] http://www.tmroyal.com/images/tips_and_defects.png
- [18] https://dcmmachinevision.files.wordpress.com/2011/02/hull_p.png

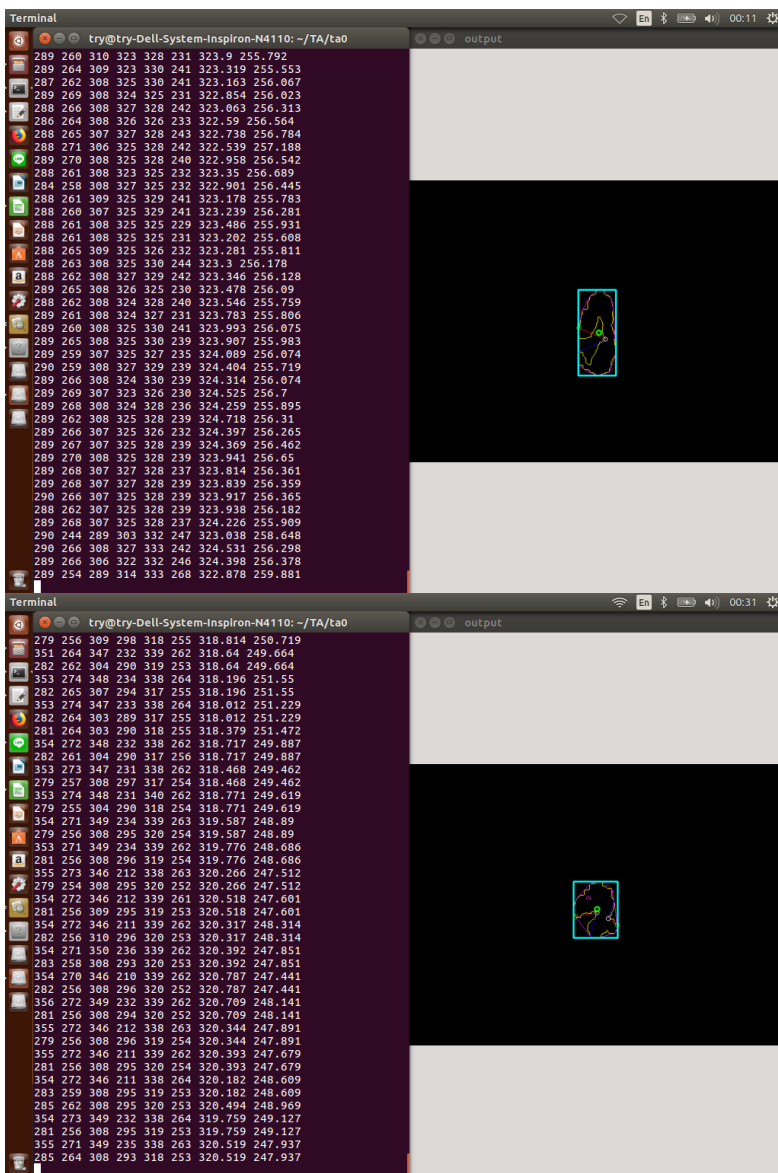
LAMPIRAN

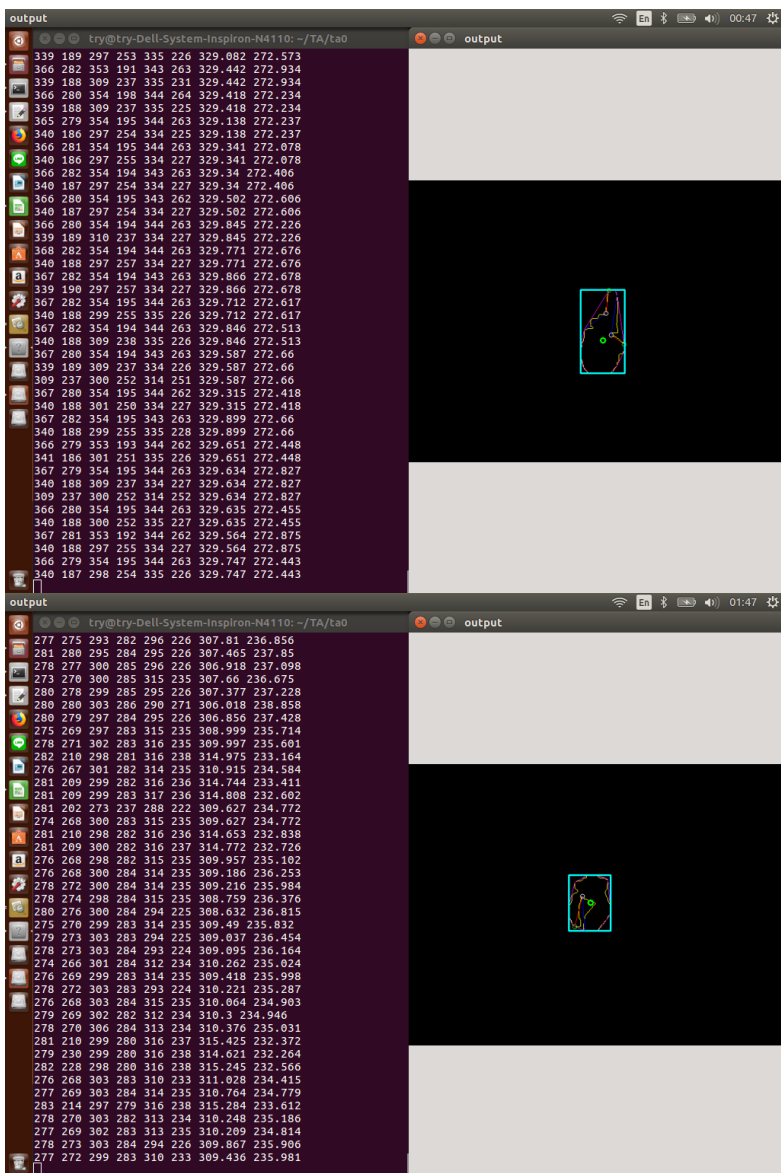
Data untuk training ANN 8 input

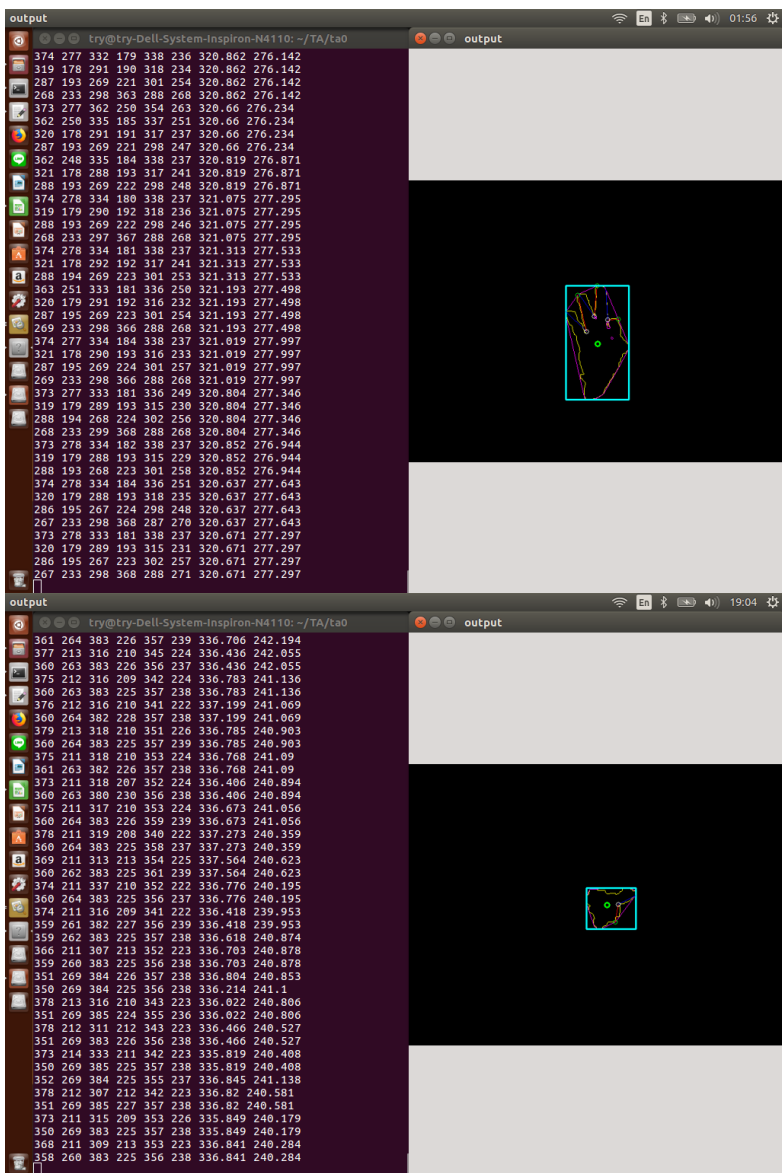
Huruf A sampai dengan I

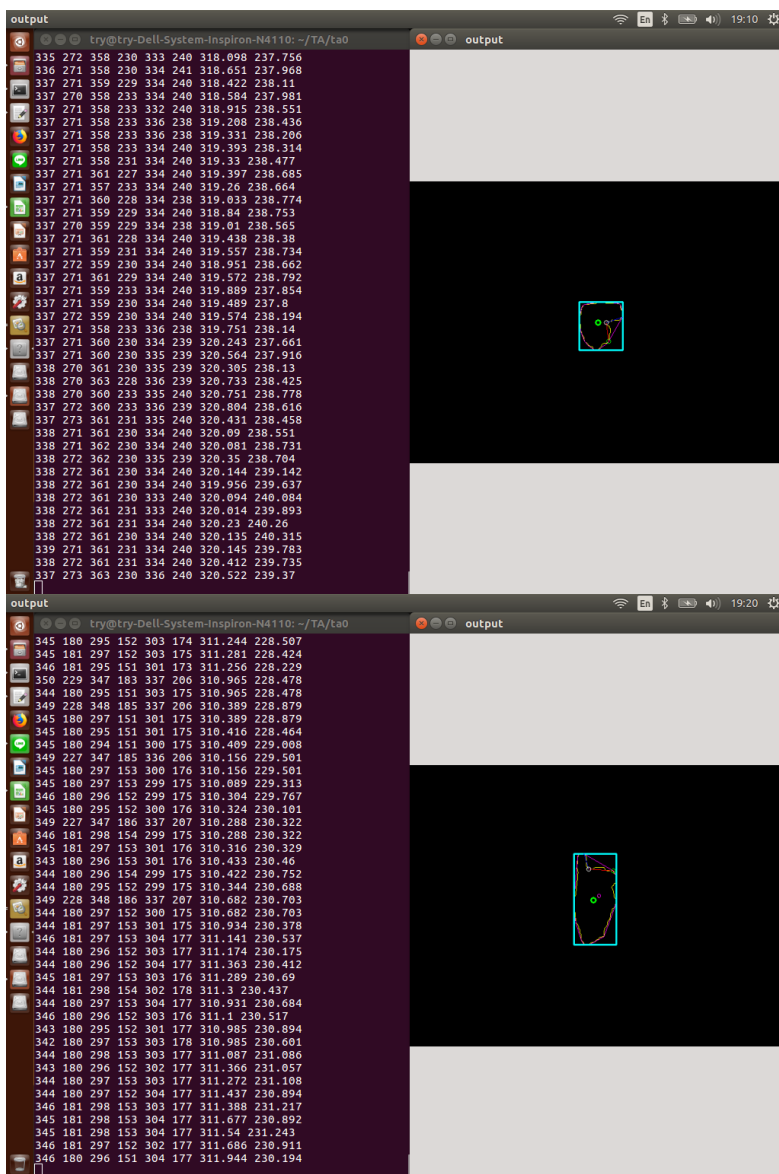
output	try@try-Dell-System-Inspiron-N4110: ~/TA/ta0	output
277	275	293
282	296	226
307.81	236.856	
281	280	295
284	295	226
307.465	237.85	
278	277	300
285	296	226
306.918	237.098	
273	270	300
285	315	235
307.66	236.675	
280	278	290
285	295	226
307.377	237.228	
280	280	303
286	290	271
306.618	238.858	
280	279	297
284	295	226
306.856	237.428	
275	269	297
283	315	235
308.999	235.714	
278	271	302
283	316	235
309.997	235.601	
282	210	298
281	316	238
314.975	233.164	
276	267	301
282	314	235
310.915	234.584	
281	209	299
282	316	236
314.744	233.411	
281	209	299
283	317	236
314.808	232.602	
281	202	273
237	288	222
309.627	234.772	
274	268	300
283	315	235
309.627	234.772	
281	210	298
282	316	236
314.653	232.838	
281	209	300
282	316	237
314.772	232.726	
276	268	298
282	315	235
309.957	235.102	
276	268	300
284	314	235
309.186	236.253	
278	272	300
284	314	235
309.216	235.984	
278	274	298
284	315	235
308.759	236.376	
280	276	300
284	294	225
308.632	236.815	
275	270	299
283	314	235
309.49	235.832	
279	273	303
283	294	225
309.037	236.454	
278	273	303
284	293	224
309.095	236.164	
274	266	301
284	312	234
310.262	235.024	
276	269	299
283	314	235
309.418	235.998	
278	272	303
283	293	224
310.221	235.287	
276	268	303
284	315	235
310.064	234.903	
279	269	302
282	312	234
310.3	234.946	
278	270	306
284	313	234
310.376	235.031	
281	210	299
280	316	237
315.425	232.372	
279	230	299
280	316	238
314.621	232.264	
282	228	298
280	316	238
315.245	232.566	
276	268	303
283	310	233
311.028	234.415	
277	269	303
284	314	235
310.764	234.779	
283	214	297
279	316	238
315.284	233.612	
278	270	303
282	313	234
310.248	235.186	
277	269	302
283	313	235
310.209	234.814	
278	273	303
284	294	226
309.867	235.906	
277	272	299
283	310	233
309.436	235.981	





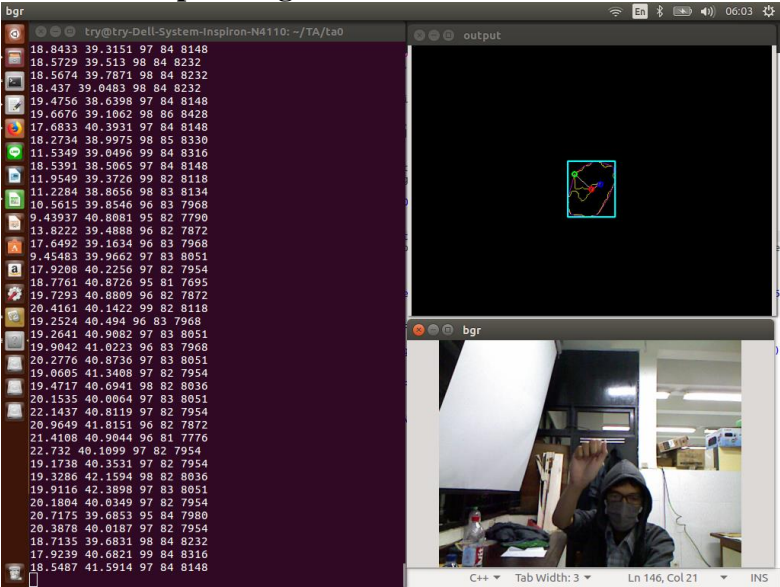






Data untuk training ANN 3 input

Huruf A sampai dengan J



bgr

try@try-Dell-System-Inspiron-N4110: ~/TA/ta0

12.3256 39.3191 141 68 9588

11.5969 39.4362 141 67 9447

12.0129 39.649 140 69 9660

10.7915 38.2098 139 66 9174

12.5148 38.658 140 67 9386

13.6498 37.9023 139 66 9174

9.84373 39.5495 139 68 9452

11.3124 38.8707 139 67 9313

20.2209 39.4971 139 68 9452

13.1676 39.5462 139 67 9313

20.8827 38.2747 138 68 9384

9.86172 38.2621 138 67 9246

20.4794 37.5793 139 67 9313

11.6759 37.8316 139 68 9452

12.9206 38.2729 139 66 9174

13.0561 39.013 138 67 9246

15.0929 37.03 140 67 9380

12.5879 38.5467 138 66 9108

11.7417 38.958 140 67 9380

13.7653 38.6802 138 67 9246

12.4056 37.1948 139 67 9313

12.9769 37.5902 138 65 8970

15.0069 37.9615 138 67 9246

15.3773 37.1108 139 66 9174

14.0528 37.5828 140 67 9380

13.6624 38.3705 139 67 9313

12.4469 38.0741 139 67 9313

14.7191 38.022 139 68 9452

23.5429 38.1414 138 68 9384

13.7174 37.8225 139 67 9313

11.7941 38.9011 138 68 9384

18.3252 30.6993 141 66 9306

11.6994 37.7673 141 66 9306

25.1831 37.3608 138 67 9246

12.699 38.5729 138 67 9246

18.0463 33.4146 139 66 9174

13.4041 38.5825 139 66 9174

14.3632 38.8285 139 69 9591

18.1684 33.9082 139 69 9591

13.3191 38.2578 139 69 9591

23.5834 37.9144 139 68 9452

output

bgr

try@try-Dell-System-Inspiron-N4110: ~/TA/ta0

2.99997 39.185 95 70 6650

2.64144 39.0568 95 70 6650

2.55839 38.5918 96 71 6816

35.2225 47.1466 95 71 6745

2.24828 39.1249 95 71 6745

0.308487 39.7864 98 71 6958

3.63368 41.5504 97 72 6984

3.75497 40.5284 95 70 6650

2.42827 38.9589 94 69 6486

0.261704 40.2045 94 71 6674

3.37121 39.9541 92 71 6532

35.615 47.2746 95 71 6745

3.64868 40.2869 95 71 6745

0.441385 37.4511 96 70 6720

2.60756 40.2428 94 72 6768

4.54885 38.188 95 69 6555

2.06109 40.0862 94 69 6486

4.92122 39.3686 95 71 6745

0.467297 39.9063 95 70 6650

3.00189 39.4576 95 68 6460

3.25897 40.1396 95 73 6935

0.716285 38.4855 94 69 6486

3.8486 39.9659 95 70 6650

1.22583 39.2667 95 71 6745

1.18221 38.4638 95 71 6745

2.36607 40.0226 95 69 6555

2.31836 39.875 96 69 6624

4.65825 40.7416 95 71 6745

3.3192 40.5902 95 69 6555

1.24099 39.7512 94 69 6486

1.98298 40.8573 93 72 6606

2.95615 38.9713 93 68 6324

4.16489 40.7851 96 72 6912

3.33463 40.3342 94 69 6486

34.4864 46.6143 98 71 6958

0.679933 40.3931 98 71 6958

3.86527 40.7942 95 71 6745

1.58264 39.8698 94 71 6674

4.23123 40.4605 94 72 6768

1.27273 38.9109 95 70 6650

3.84223 40.8852 95 71 6745

output

bgr

Sheet 2 of 2

Default

Sum=0

bgr

try@try-Dell-System-Inspiron-N4110: ~/TA/ta0

2.99997 39.185 95 70 6650

2.64144 39.0568 95 70 6650

2.55839 38.5918 96 71 6816

35.2225 47.1466 95 71 6745

2.24828 39.1249 95 71 6745

0.308487 39.7864 98 71 6958

3.63368 41.5504 97 72 6984

3.75497 40.5284 95 70 6650

2.42827 38.9589 94 69 6486

0.261704 40.2045 94 71 6674

3.37121 39.9541 92 71 6532

35.615 47.2746 95 71 6745

3.64868 40.2869 95 71 6745

0.441385 37.4511 96 70 6720

2.60756 40.2428 94 72 6768

4.54885 38.188 95 69 6555

2.06109 40.0862 94 69 6486

4.92122 39.3686 95 71 6745

0.467297 39.9063 95 70 6650

3.00189 39.4576 95 68 6460

3.25897 40.1396 95 73 6935

0.716285 38.4855 94 69 6486

3.8486 39.9659 95 70 6650

1.22583 39.2667 95 71 6745

1.18221 38.4638 95 71 6745

2.36607 40.0226 95 69 6555

2.31836 39.875 96 69 6624

4.65825 40.7416 95 71 6745

3.3192 40.5902 95 69 6555

1.24099 39.7512 94 69 6486

1.98298 40.8573 93 72 6606

2.95615 38.9713 93 68 6324

4.16489 40.7851 96 72 6912

3.33463 40.3342 94 69 6486

34.4864 46.6143 98 71 6958

0.679933 40.3931 98 71 6958

3.86527 40.7942 95 71 6745

1.58264 39.8698 94 71 6674

4.23123 40.4605 94 72 6768

1.27273 38.9109 95 70 6650

3.84223 40.8852 95 71 6745

output

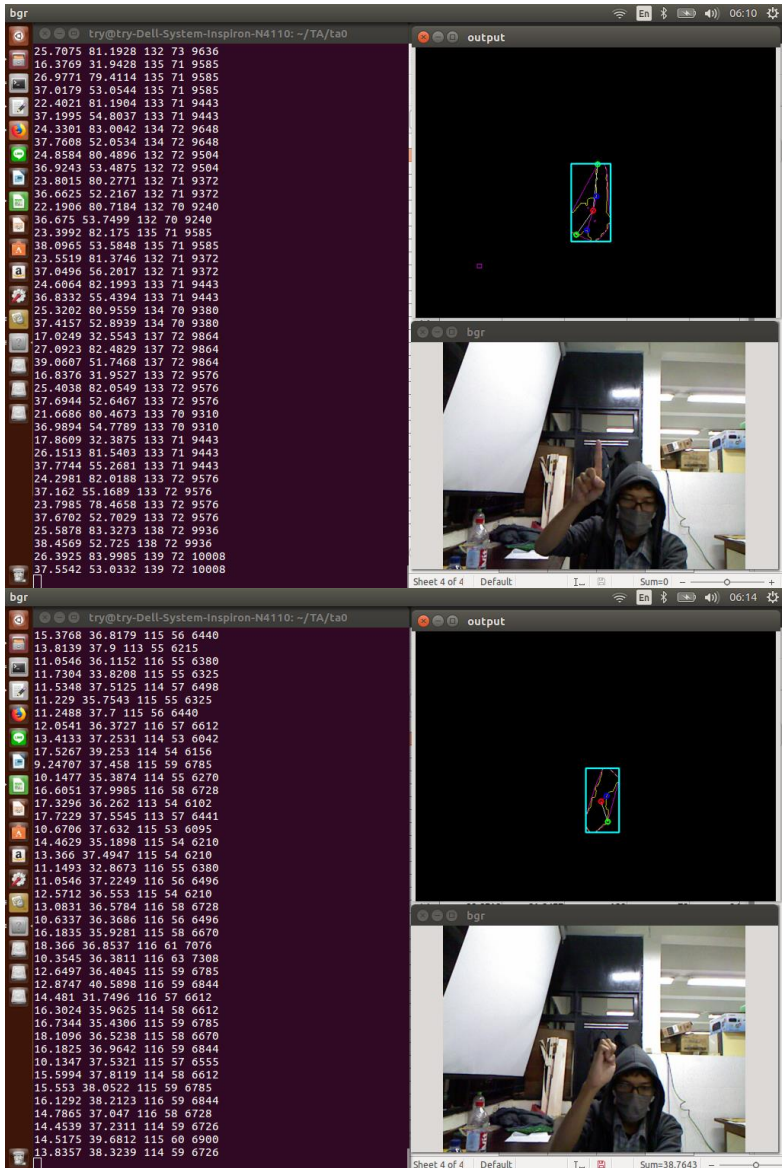
bgr

Sheet 3 of 3

Default

Sum=0

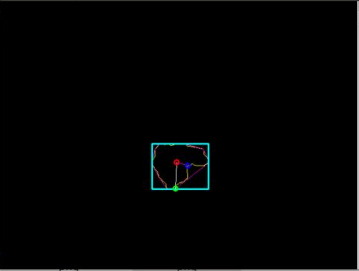
63




Terminal

try@try-Dell-System-Inspiron-N4110: ~/TA/ta0

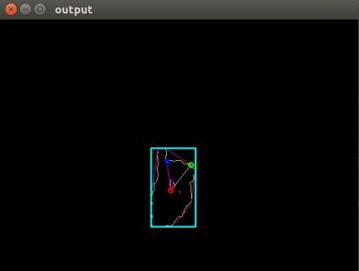
output




bgr



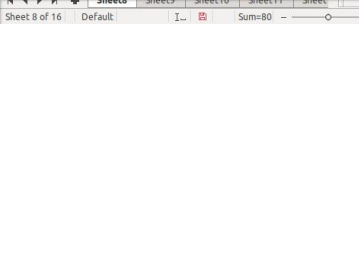
output



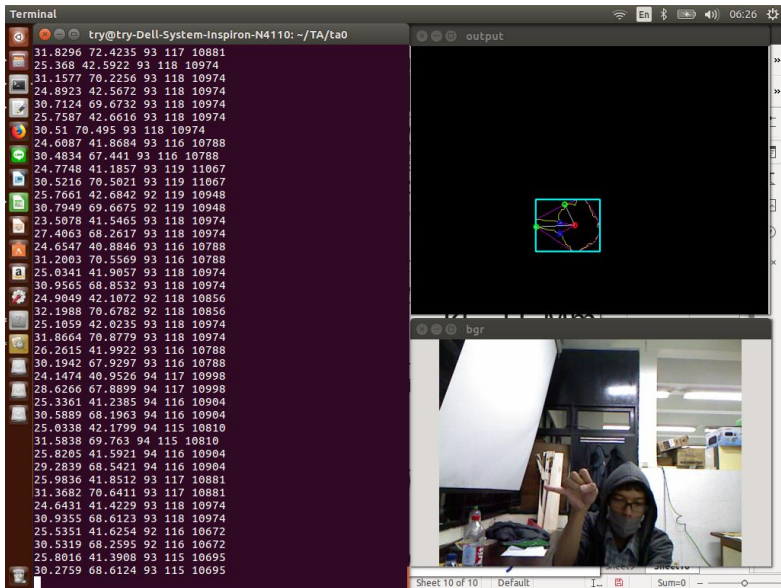
bgr



output



Sheet 8 of 16 Default I... Sum=80



Program pada OpenCV

```
#include "opencv2/opencv.hpp"
#include <iostream>
#include <stdio.h>
#include <stdlib.h>
#include <math.h>
```

```
using namespace std;
using namespace cv;
```

```
VideoCapture capture(CAP_OPENNI);
```

```
Mat depthmap;
Mat bgrimage;
```

```
Mat disparitymap;  
Mat thresholded_depthmap;  
Mat drawing;
```

```
int main(void)  
{  
    namedWindow("bgr",  
WINDOW_GUI_NORMAL);  
    namedWindow("output",  
WINDOW_GUI_NORMAL);  
  
    while(1)  
    {  
        capture.grab();  
        capture.retrieve(depthmap,  
CAP_OPENNI_DEPTH_MAP);  
        capture.retrieve(bgrimage,  
CAP_OPENNI_BGR_IMAGE);  
        capture.retrieve(disparitymap,  
CAP_OPENNI_DISPARITY_MAP);  
  
        createTrackbar("threshold min","control  
menu",&minth ,1000);  
        createTrackbar("threshold max","control  
menu",&maxth ,1500);  
        createTrackbar("kernel erode","control  
menu",&sker ,10);  
        createTrackbar("kernel dilate","control  
menu",&skdil ,10);
```

```

//1.thresholding depthmap
inRange(depthmap, minth, maxth,
thresholded_depthmap);

//2.morphological transformations (erode +
closing)
erode(thresholded_depthmap,
thresholded_depthmap,
getStructuringElement(MORPH_RECT, Size(sker,
sker))));
erode(thresholded_depthmap,
thresholded_depthmap,
getStructuringElement(MORPH_RECT, Size(sker,
sker))));
dilate(thresholded_depthmap,
thresholded_depthmap,
getStructuringElement(MORPH_RECT, Size(skdil,
skdil))));
dilate(thresholded_depthmap,
thresholded_depthmap,
getStructuringElement(MORPH_RECT, Size(1, 1)));

vector<vector<Point> > contours;
vector<Vec4i> hierarchy;

//3.create contour, convex hull, & defects
findContours( thresholded_depthmap, contours,
hierarchy, RETR_TREE, CHAIN_APPROX_SIMPLE,
Point(0, 0) );

/// Get the moments
vector<Moments> mu(contours.size() );

```

```

for( uint8_t i = 0; i < contours.size(); i++ )
    { mu[i] = moments( contours[i], false ); }

///   Get the mass centers:
vector<Point2f> mc( contours.size() );
for( uint8_t i = 0; i < contours.size(); i++ )
    { mc[i] = Point2f( mu[i].m10/mu[i].m00 ,
mu[i].m01/mu[i].m00 ); }

vector<vector<Point> > hull(contours.size());
vector<vector<int> > hull2(contours.size());
vector<vector<Vec4i> > defects(contours.size());

for(uint8_t i = 0; i < contours.size(); i++ )
{
    //3.1.create hull
    convexHull(contours[i], hull[i], false);
    convexHull(contours[i], hull2[i], false);

    if(hull2[i].size() > 3 )
    {
        //3.2.create defects
        convexityDefects(contours[i],
hull2[i], defects[i]);
    }
}

Mat drawing =
Mat::zeros(thresholded_depthmap.size(), CV_8UC3);

vector<vector<Point> >

```

```

contours_poly( contours.size() );
vector<Rect> boundRect( contours.size() );
vector<Point2f> center( contours.size() );
vector<float> radius( contours.size() );

for(uint8_t i = 0; i < contours.size(); i++ )
{
    drawContours(drawing, contours, i,
Scalar(0, 255, 255), 1, 8, hierarchy, 0, Point());
    drawContours(drawing, hull, i, Scalar(255,
0, 255), 1, 8, hierarchy, 0, Point());

    approxPolyDP( Mat(contours[i]),
contours_poly[i], 3, true );
    boundRect[i] =
boundingRect( Mat(contours_poly[i]) );
    minEnclosingCircle( (Mat)contours_poly[i],
center[i], radius[i] );

    for(uint8_t j=0; j<defects[i].size(); ++j)
    {
        const Vec4i& v = defects[i][j];
        float depth = v[3] / 256;

        if (depth > 10) //filter defects by depth
        {
            int startidx = v[0]; Point
ptStart(contours[i][startidx]);
            int endidx = v[1]; Point
ptEnd(contours[i][endidx]);
            int faridx = v[2]; Point
ptFar(contours[i][faridx]);

```

```

        //draw rectangle
        rectangle( drawing,
boundRect[i].tl(), boundRect[i].br(), Scalar(255, 255, 0),
2, 8, 0 );

        //draw defects
        line(drawing, mc[i], ptStart,
Scalar(255, 255, 255), 1);
        line(drawing, mc[i], ptFar,
Scalar(255, 0, 255), 1);
        circle(drawing, ptFar, 4,
Scalar(255, 0, 0), 2);
        circle(drawing, ptStart, 4,
Scalar(0, 255, 0), 2);
        circle(drawing, mc[i], 4,
Scalar(0, 0, 255), 2 );
    }
}

imshow("bgr", bgrimage);
imshow("output", drawing );
waitKey(1);
}

return 0;
}

```

BIODATA PENULIS



Penulis lahir di Tangerang pada tanggal 14 juli 1993 sebagai anak ketiga dari tiga bersaudara. Lulus dari pendidikan SD pada tahun 2005 di SDI Al-Hasanah Ciledug, lalu lulus dari pendidikan SMP pada tahun 2008 di SMPI Al-Hasanah Ciledug, kemudian lulus pendidikan SMA pada tahun 2011 di SMAN 85 Jakarta Barat. Pada tahun 2013 penulis diterima di Kampus ITS di Departemen Teknik Elektro. Penulis sempat aktif sebagai asisten lab elektronika dasar ITS.

Email : try13@mhs.its.ee.ac.id